

## 第二章 等离子体折射系数

### §2.1 电磁波在等离子体中的传播

电磁波在等离子体中的传播已有很详尽的研究, 有专著: 金朝望院士《电磁波在等离子体中的传播》(中译本), 科学出版社, 1978年。本书仅给出其中的一些基本概念, 以做为以后章节讨论的基础。

一. 电磁波作为扰动必须满足以下条件:

1. 对等离子体不造成干扰:  $\frac{eE}{m_e \omega} \ll v_e$
2. 在等离子体中传播: 传播速度一般远大于波速

二. 冷等离子体波的色散关系 波的相速度远大于粒子的热运动速度

冷等离子体波近似, 是忽略了带电粒子的热运动对电磁波传播特性的影响, 只考虑电磁波与离子的相互作用, 电子相速近似。

一般色散关系可由麦克斯韦方程组和粒子运动方程联立求解而得。

假设: ① 电磁波频率远大于粒子的回旋频率

② 等离子体是均匀介质

③ 冷等离子体

$$\begin{cases} \nabla \times \vec{E} = -\frac{\partial \vec{B}}{\partial t} \\ \nabla \times \vec{B} = \mu_0 \vec{j} + \epsilon_0 \mu_0 \frac{\partial \vec{E}}{\partial t} \end{cases}$$

$$\vec{j} = \vec{\sigma} \cdot \vec{E} = en_e \vec{v}$$

电子自由运动, 由此运动方程求出

$$m_e \frac{\partial \vec{v}}{\partial t} = -e \vec{E} - e \vec{v} \times \vec{B}_0$$

联立得波动方程  $E \propto \exp[i(\vec{k} \cdot \vec{r} - \omega t)]$

$$\nabla \times (\nabla \times \vec{E}) + \mu_0 \vec{\sigma} \frac{\partial \vec{E}}{\partial t} + \mu_0 \epsilon_0 \frac{\partial^2 \vec{E}}{\partial t^2} = 0$$

$$\vec{k} \times (\vec{k} \times \vec{E}) + \frac{\omega^2}{c^2} \vec{E} = 0$$

即 
$$\vec{E} = \frac{\vec{I}}{\epsilon_0 \omega} \vec{\sigma}$$

等离子体介电张量

上述波动方程可化为:

$$[\vec{k} \vec{k} - \cancel{k^2 \vec{I}} + \frac{\omega^2}{c^2} \vec{E}] \cdot \vec{E} = 0$$

$$\mu_0 \epsilon_0 = \frac{1}{c^2}$$

它是  $\vec{E}$  的三个分量的线性方程组, 它有非零解的条件是其系数的行列式的值等于零, 即:

$$\det(\vec{k}\vec{k} - k^2\vec{I} + \frac{\omega^2}{c^2}\vec{\epsilon}) = 0 \quad \text{②} \equiv \frac{kc}{\omega}$$

上式的解决定波的颜色,  $k = f(\omega)$ , 称为矩阵方程的本征值。而与本征值相对应的矩阵方程  $\vec{E}$  的解为本征向量, 它决定波的偏振特性。

最简单情况是当等离子体频率  $\omega_p$  远小于光频率  $\omega$  时, 电子运动同轴于电场, 这时

$$m \frac{d\vec{v}}{dt} = -e\vec{E} \Rightarrow \vec{v} = \frac{ie\vec{E}}{m\omega}$$

$$\sigma = i \frac{en_0}{m\omega}$$

$$\vec{D} = \sigma \vec{E}, \quad \vec{\epsilon} = \vec{I} \left(1 + \frac{i}{\epsilon_0 \omega} \sigma\right) = \epsilon \vec{I} \quad \epsilon = 1 - \frac{\omega_p^2}{\omega^2}$$

若  $\vec{k} = k\hat{z}$ , 则其系数的行列式为:  $\vec{k}\vec{k}$

$$\vec{k}\vec{k} - k^2\vec{I} + \frac{\omega^2}{c^2}\vec{\epsilon} = \begin{vmatrix} -k^2 + \frac{\omega^2}{c^2}\epsilon & 0 & 0 \\ 0 & -k^2 + \frac{\omega^2}{c^2}\epsilon & 0 \\ 0 & 0 & \frac{\omega^2}{c^2}\epsilon \end{vmatrix} = 0$$

其解为:

$$-k^2 + \frac{\omega^2}{c^2}\epsilon = 0, \quad E_x, E_y \neq 0 \quad \text{为横波}$$

$$\text{且} \quad \frac{\omega^2}{c^2}\epsilon = 0, \quad E_z \neq 0 \quad \text{纵波}$$

对于横波, 有  $\epsilon^2 = \frac{kc}{\omega} \mu, \quad \mu \equiv \frac{k}{k_0} = \frac{kc}{\omega}$

纵波, 有  $\epsilon = 0$

在本书的 ~~讨论~~ 不考虑  $\epsilon = 0$  的解。

当  $B_0 \neq 0$  时,  $\vec{\sigma}$  及  $\vec{\epsilon}$  不再沿轴向同轴, 这时只要知道  $\vec{\sigma}$ , 我们就可以从上述波动方程的解得到电磁波在等离子体中的色散关系及其偏振特性。

在冷等离子体近似条件下, 我们可以单独从运动方程求得电子的波动函数  $\vec{v}$ , 再利用欧姆定律求得  $\vec{\sigma}$  ( $\vec{j} = -en_0\vec{v} = \vec{\sigma} \cdot \vec{E}$ )。

设入射电磁波为  $E_0 \exp[i(\vec{k} \cdot \vec{r} - \omega t)]$ , 取  $\vec{B}_0 = B_0 \hat{z}$ ,  
 $\vec{k} = k \cdot (0, \sin\theta, \cos\theta)$ , 即  $\vec{k}$  与  $\vec{B}_0$  夹角为  $\theta$ ,  
则运动方程

$$m_e \frac{\partial \vec{v}}{\partial t} = -e(\vec{E} + \vec{v} \times \vec{B}) \rightarrow \vec{v} = f(\vec{E})$$

解为:

$$\vec{v} = \begin{pmatrix} \frac{-ie}{\omega m_e} & 0 & 0 \\ \frac{1}{1-\omega_{pe}^2/\omega^2} & -\frac{i\omega_{ce}/\omega}{1-\omega_{ce}^2/\omega^2} & 0 \\ \frac{i\omega_{ce}/\omega}{1-\omega_{ce}^2/\omega^2} & \frac{1}{1-\omega_{ce}^2/\omega^2} & 0 \\ 0 & 0 & 1 \end{pmatrix} \begin{pmatrix} E_x \\ E_y \\ E_z \end{pmatrix}$$

$$\begin{aligned} j &= \vec{\sigma} \cdot \vec{E} = en_e \vec{v} \\ \vec{\sigma} &\rightarrow \vec{E} = \vec{E} + \frac{1}{\epsilon_0 \omega} \vec{\sigma} \end{aligned}$$

由此及麦克斯韦方程  $\vec{\sigma} = -en_e \vec{v} = \vec{\sigma} \cdot \vec{E}$  可得:

$$\vec{\sigma} = \frac{in_e e^2}{m_e \omega} \frac{1}{1-\omega_{ce}^2/\omega^2} \begin{pmatrix} 1 & -i\omega_{ce}/\omega & 0 \\ i\omega_{ce}/\omega & 1 & 0 \\ 0 & 0 & 1-\omega_{ce}^2/\omega^2 \end{pmatrix}$$

及

$$\vec{E} = \begin{pmatrix} 1 - \frac{\omega_{pe}^2}{\omega(\omega^2 - \omega_{ce}^2)} & \frac{i\omega_{pe}^2 \omega_{ce}}{\omega(\omega^2 - \omega_{ce}^2)} & 0 \\ -\frac{i\omega_{pe}^2 \omega_{ce}}{\omega(\omega^2 - \omega_{ce}^2)} & 1 - \frac{\omega_{pe}^2}{\omega(\omega^2 - \omega_{ce}^2)} & 0 \\ 0 & 0 & 1 - \frac{\omega_{pe}^2}{\omega^2} \end{pmatrix}$$

令  $X \equiv \omega_{pe}^2/\omega^2$ ,  $Y \equiv \omega_{ce}/\omega$ ,  $\mu \equiv \frac{kc}{\omega}$

将  $\vec{E}$  代入波动方程, 可得电子波的色散方程,  $\vec{k} \cdot \vec{E} = 0$

$$\begin{vmatrix} -\mu^2 + 1 - \frac{X}{1-Y^2} & \frac{iXY}{1-Y^2} & 0 \\ -\frac{iXY}{1-Y^2} & -\mu^2 \cos^2\theta + 1 - \frac{X}{1-Y^2} & \mu^2 \sin\theta \cos\theta \\ 0 & \mu^2 \sin\theta \cos\theta & -\mu^2 \sin^2\theta + 1 - X \end{vmatrix} = 0$$

因在冷等离子体近似条件下,  $\vec{E}$  与  $\vec{k}$  无叉, 因此上述色散方程是  $\mu^2$  的二次方程, 其解可写为:

$$\mu^2 = 1 - \frac{X(1-X)}{1-X - \frac{1}{2}Y^2 \sin^2\theta \pm [(\frac{1}{2}Y^2 \sin^2\theta)^2 + (1-X)^2 Y^2 \cos^2\theta]^{\frac{1}{2}}}$$

这就是折射率的 Appleton-Hartree 公式。

阿普顿-哈特利公式

平行传播:  $\theta=0$ , 即  $\vec{k} \parallel \vec{B}$ , 则色散方程的解为

$$\mu^2 = 1 - \frac{x}{1-y^2} \pm \frac{xy}{1-y^2} = 1 - \frac{x}{1 \pm y}$$

其波的特性偏振为:

$$\frac{E_x}{E_y} = \pm i, \quad E_z = 0 \quad \text{为左右旋波}$$

垂直传播:  $\theta = \frac{\pi}{2}$ , 即  $\vec{k} \perp \vec{B}$ , 则色散方程的解为

$$\mu^2 = 1 - x \quad \text{或} \quad \mu^2 = 1 - \frac{x(1-x)}{1-x-y^2}$$

其波的特性偏振为:

$$E_x = E_y = 0, \quad E_z \neq 0, \quad \text{为线偏振波, 寻常波}$$

$$\text{或} \quad \frac{E_x}{E_y} = -i \frac{1-x-y^2}{xy}, \quad E_z = 0, \quad \text{为椭圆偏振波, 寻常波}$$

1.  $B_0 = 0$ : 电磁波的本征值为:

$$\epsilon = \left(\frac{kc}{\omega}\right)^2 = \mu^2 = 1 - \frac{\omega_{pe}^2}{\omega^2} - \left(\frac{\omega_{pi}^2}{\omega^2}\right) \approx 1 - \frac{\omega_{pe}^2}{\omega^2} = 1 - \frac{n_e}{n_c} \quad \frac{E_x}{E_y} \approx 1, \quad E_z = 0$$

$$n_c \equiv \frac{\epsilon_0 m_e}{e^2} \omega^2 = 1.24 \times 10^2 f^2 [\text{Hz}] = 1.11 \times 10^{27} (\lambda [\mu\text{m}])^2 \quad [\text{m}^{-3}]$$

为电磁波频率  $\omega = \omega_{pe}$  时相对论的密度, 称为截止密度

$$\text{相速度:} \quad v_p \equiv \frac{\omega}{k} = \frac{c}{\mu} = \frac{c}{\sqrt{1 - \omega_{pe}^2/\omega^2}} > c$$

$$\text{群速度:} \quad v_g \equiv \frac{\partial \omega}{\partial k} = c\mu = c\sqrt{1 - \omega_{pe}^2/\omega^2} < c$$

$$\text{传播区:} \quad \omega > \omega_{pe} \quad \omega_{pe}/\omega < 1$$

$$\text{截止:} \quad \omega = \omega_{pe} \quad \omega \leq \omega_{pe}$$

$$\mu = 0, \quad v_p \rightarrow \infty, \quad v_g \rightarrow 0, \quad \lambda \rightarrow \infty$$

2.  $B_0 \neq 0, \vec{k} \parallel \vec{B}_0$ .  $\vec{E} \perp \vec{B}_0$ .  $\frac{E_x}{E_y} = \pm i, E_z = 0$

(Left) L:  $\mu_L^2 = 1 - \frac{\omega_{pe}^2/\omega^2}{1 + \omega_{ce}/\omega} - \frac{\omega_{pi}^2/\omega^2}{1 - \omega_{ci}/\omega} \approx 1 - \frac{\omega_{pe}^2}{\omega^2} \left(1 + \frac{\omega_{ce}}{\omega}\right)^{-1}$

(Right) R:  $\mu_R^2 = 1 - \frac{\omega_{pe}^2/\omega^2}{1 - \omega_{ce}/\omega} - \frac{\omega_{pi}^2/\omega^2}{1 + \omega_{ci}/\omega} \approx 1 - \frac{\omega_{pe}^2}{\omega^2} \left(1 - \frac{\omega_{ce}}{\omega}\right)^{-1}$

截止区:  $\mu_L^2, \mu_R^2 \leq 0$

(L)  $\frac{\omega_{pe}^2}{\omega^2} \geq 1 + \frac{\omega_{ce}}{\omega}$

(R)  $\frac{\omega_{pe}^2}{\omega^2} \geq 1 - \frac{\omega_{ce}}{\omega}$

共振:  $\mu_{L,R} \rightarrow \infty$  ( $\lambda, v_p \rightarrow 0, v_g \rightarrow 0$  欧姆)

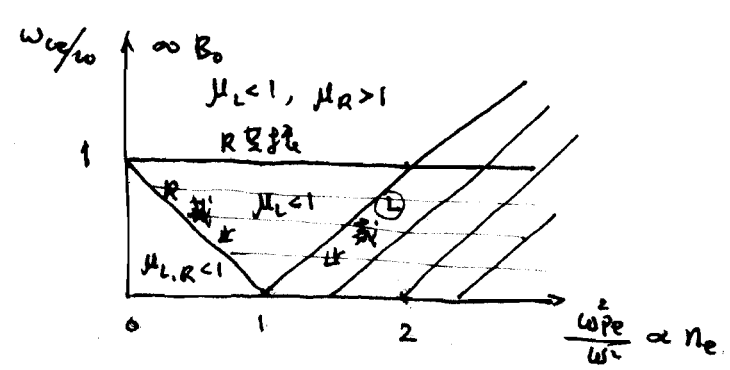
(L)  $\omega = \omega_{ci}$

(R)  $\omega = \omega_{ce}$

传播区:

L:  $\frac{\omega_{pe}^2}{\omega^2} < 1 + \frac{\omega_{ce}}{\omega}$

R:  $\frac{\omega_{pe}^2}{\omega^2} < 1 - \frac{\omega_{ce}}{\omega}$  及  $\frac{\omega_{ce}}{\omega} > 1$



3.  $B_0 \neq 0, \vec{k} \perp \vec{B}_0$ .

Ordinary O:  $(\vec{E} \parallel \vec{B}_0) \mu_o^2 = 1 - \frac{\omega_{pe}^2}{\omega^2} - \frac{\omega_{pi}^2}{\omega^2} \approx 1 - \frac{\omega_{pe}^2}{\omega^2} = 1 - \frac{n_e}{n_c}$

Extraordinary X:  $(\vec{E} \perp \vec{B}_0) \mu_x^2 = 1 - \frac{\omega_{pe}^2}{\omega^2} \frac{1 - \omega_{ce}^2/\omega^2}{1 - \frac{\omega_{pe}^2}{\omega^2} - \frac{\omega_{ce}^2}{\omega^2}} = \frac{(\omega^2 - \omega_{ce}^2)(\omega^2 - \omega_L^2)}{\omega^2(\omega^2 - \omega_H^2)} = \frac{(1 - \frac{\omega_{pe}^2}{\omega^2})^2 - \frac{\omega_{ce}^2}{\omega^2}}{1 - \frac{\omega_{pe}^2}{\omega^2} - \frac{\omega_{ce}^2}{\omega^2}}$

其中  $\omega_L \equiv -\frac{\omega_{ce}}{2} + \left(\frac{\omega_{ce}^2}{4} + \omega_{pe}^2\right)^{1/2}$  左旋波

O:  $E_x = E_y \neq 0, E_z = 0$  ( $E_z \parallel B_0$ )

X:  $\frac{E_x}{E_y} = -i \frac{1 - X - Y^2}{XY}, E_z = 0$

$$\omega_R \equiv \frac{\omega_{ce}}{2} + \left( \frac{\omega_{ce}^2}{4} + \omega_{pe}^2 \right)^{1/2} \quad \text{右旋波}$$

$$\omega_H^2 \equiv \omega_{ce}^2 + \omega_{pe}^2 \quad \text{高混杂波频率}$$

传播区:

O波:  $\omega < \omega_{pe}$

X波:  $\frac{\omega_{pe}^2}{\omega^2} < 1 - \frac{\omega_{ce}}{\omega}$

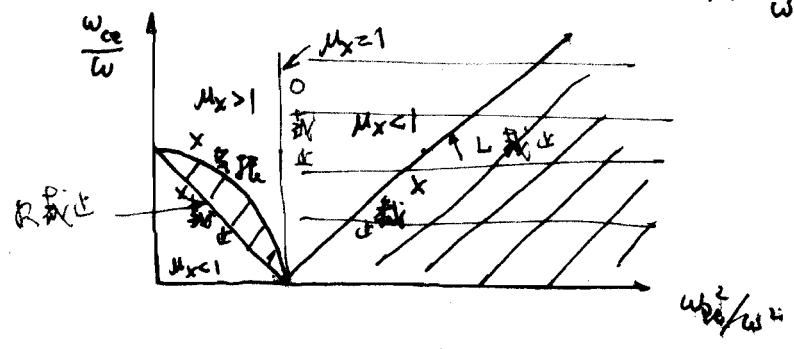
$$1 - \frac{\omega_{ce}}{\omega} < \frac{\omega_{pe}^2}{\omega^2} < 1 + \frac{\omega_{ce}}{\omega}$$

截止:

①  $\frac{\omega_{pe}^2}{\omega^2} \geq 1 + \frac{\omega_{ce}}{\omega}$

②  $\frac{\omega_{pe}^2}{\omega^2} \leq 1 - \frac{\omega_{ce}}{\omega}$

$$1 - \frac{\omega_{ce}}{\omega} \leq \frac{\omega_{pe}^2}{\omega^2} \leq 1 + \frac{\omega_{ce}}{\omega}$$



$\lambda \ll L_n, L_B$  均匀介质, 色散关系由局部性质决定

三. 近似应用:  $\frac{|\nabla k|}{k^2} \ll 1, \text{ 即 } \frac{|\nabla \mu|}{\mu^2} \ll 1$  WKB近似, 几何光学近似

1. 干涉:

透射系数

$$\mu = \left( 1 - \frac{\omega_{pe}^2}{\omega^2} \right)^{1/2} \approx 1 - \frac{1}{2} \frac{\omega_{pe}^2}{\omega^2} \quad \left( \frac{\omega_{pe}^2}{\omega^2} \ll 1 \right)$$

等离子体折射率随位置的变化:

$$\Phi_p = \int (k_0 - k) dl = \int \frac{\omega}{c} (1 - \mu) dx \approx r_e \lambda \int n_e dl$$

即  $r_e \equiv \frac{e^2}{4\pi \epsilon_0 m_e c^2} = 2.82 \times 10^{-15} \text{ m}$  电子经典半径

$\lambda$  为真空波长

$$n_c = \frac{\epsilon_0 m_e \omega^2}{e^2} = 1.24 \times 10^{-2} f^2 [\text{Hz}] = 1.11 \times 10^{15} \lambda^{-2} [\text{m}] \quad [\text{m}^{-3}]$$

2. 法拉第旋转:  $\vec{k} \parallel \vec{B}_0$ .

$$\mu_L \approx \left[ 1 - \frac{\omega_{pe}^2}{\omega^2} \left( 1 + \frac{\omega_{ce}}{\omega} \right)^{-1} \right]^{\frac{1}{2}} \approx 1 - \frac{1}{2} \frac{\omega_{pe}^2}{\omega^2} \left( 1 - \frac{\omega_{ce}}{\omega} \right)$$

$$\mu_R \approx \left[ 1 - \frac{\omega_{pe}^2}{\omega^2} \left( 1 - \frac{\omega_{ce}}{\omega} \right)^{-1} \right]^{\frac{1}{2}} \approx 1 - \frac{1}{2} \frac{\omega_{pe}^2}{\omega^2} \left( 1 + \frac{\omega_{ce}}{\omega} \right)$$

它表明左、右旋波在等离子体中传播的相速度不同, ~~右旋波比左旋波传播得快~~, 这将引起入射波偏振波在等离子体中传播时偏振方向产生旋转 (即法拉第旋转), 其转角为:

$$\alpha = \frac{\omega}{c} \int \frac{\mu_L - \mu_R}{2} dl = \frac{r_{\text{eff}}}{2} \int \frac{\omega_{pe}^2 \omega_{ce}}{2\omega^2 c} dl \propto \int B_0 n_e dl$$

3. 折射计:  $\vec{k} \perp \vec{B}_0$ .

o波:  $\mu_o = 1 - \frac{\omega_{pe}^2}{\omega^2} = 0$

x波:  $\mu_x = \frac{(\omega_{pe}^2 - \omega_k^2)(\omega^2 - \omega_k^2)}{\omega^2(\omega^2 - \omega_H^2)} = 0$  通常选右旋波截止

$$\omega_R = \frac{\omega_{ce}}{2} + \left( \frac{\omega_{ce}^2}{4} + \omega_{pe}^2 \right)^{\frac{1}{2}} \quad \text{与 } B \text{ 有关}$$

WKB近似, 射线近似 eikonal approximation.  $n$  与  $\omega$  是函数

$$\frac{|\nabla k|}{k^2} \ll 1 \quad \text{或} \quad \frac{1}{\omega} \frac{|\nabla \mu|}{\mu^2} \ll 1$$

▲ 双折射效应

$$\mu_o \approx \left[ 1 - \frac{\omega_{pe}^2}{\omega^2} \right]^{\frac{1}{2}} \approx 1 - \frac{1}{2} \frac{\omega_{pe}^2}{\omega^2}$$

$$\mu_x = \left[ 1 - \frac{\omega_{pe}^2}{\omega^2} \left( 1 - \frac{\omega_{pe}^2}{\omega^2} \right) \left( 1 - \frac{\omega_{pe}^2}{\omega^2} - \frac{\omega_{ce}^2}{\omega^2} \right)^{-1} \right]^{\frac{1}{2}}$$

$$\approx 1 - \frac{1}{2} \frac{\omega_{pe}^2}{\omega^2} \left( 1 + \frac{\omega_{ce}^2}{\omega^2} \right)$$

$$\frac{|\nabla k|}{k^2} \ll 1, \quad \frac{|\nabla \mu|}{\mu^2} \ll 1$$

= ④ ⑧

## §2.2 电子密度的测量 寻常波的色散关系方程，色折射系数与电子密度有关

在光学中，介质的折射系数最常用干涉仪测量，它是测量一定厚度的介质插入干涉仪中所引入的附加光程差或附加的相位变化。等离子体也是一种介质，类似地，在等离子体诊断中，也可用干涉仪测量等离子体的折射系数。由于寻常波的折射系数简单地与等离子体电子密度有关，即：

$$\mu = \epsilon_r^{1/2} = \left(1 - \frac{\omega_{pe}^2}{\omega^2}\right)^{1/2} \approx \left(1 - \frac{n_e}{n_c}\right)^{1/2} \xrightarrow[\omega_{pe}^2 \ll \omega^2]{n_e \ll n_c} \mu \approx 1 - \frac{1}{2} \frac{n_e}{n_c}$$

其中

$$n_c = \frac{\epsilon_0 m_e \omega^2}{e^2} = 1.24 \times 10^{-2} f^2 [\text{Hz}] = 1.11 \times 10^{15} \lambda^{-2} [\text{m}] \quad [\text{m}^3] \text{ 是临界电子密度}$$

从折射系数的测量可以直接导出电子密度，因而常用寻常波（常称为干涉仪的探针）。

## 一. 干涉仪

我们熟知，干涉仪是用电场相干叠加的方法使两束或两束以上的光形成干涉，其输出光强因相长干涉或相消干涉（即同相位或反相位）而被调制。例如，在一个简单的双束干涉仪中，两束相位差为  $\phi$  的单色光的电场，即  $E_1 \exp(i\omega t)$  和  $E_2 \exp(i\omega t + i\phi)$  相加，它们的总电场为：

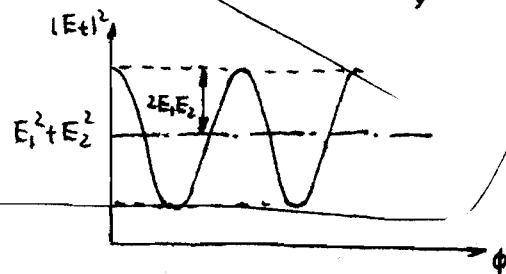
$$E_t = [E_1 + E_2 \exp(i\phi)] \exp(i\omega t)$$

平方律探测器所探测的功率是与  $|E_t|^2$  成正比的，即

$$|E_t|^2 = [E_1^2 + E_2^2] \left[ 1 + \frac{2E_1 E_2}{E_1^2 + E_2^2} \cos \phi \right]$$

由此可见，输出光强除了有一个直流分量外，还有一个随余弦函数变化的调制分量，如下图所示。

各种不同用途的干涉仪有许多种，但在等离子体诊断中最常用的有以下两种：

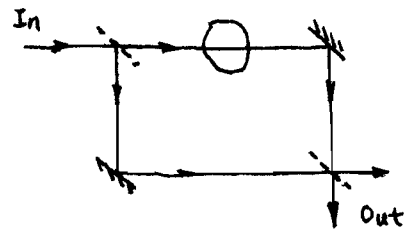
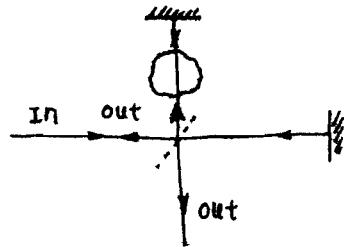




在等离子体诊断中常用的干涉仪有以下两种

## 1. 迈克尔逊干涉仪

它是双束干涉仪，它有两臂和两个输出，但光在两臂中均沿两个方向传播，且其一输出沿入射光路回到光源。在折射率测量的情况下，干涉仪中任一臂上折射系数的变化，都会导致任一输出端中的两个分量间产生相位差。



## 2. 马赫-珍德干涉仪

它也是双束干涉仪，但它与迈克尔逊干涉仪不同的是，光束在两臂中都只沿一个方向传播，而且两个输出都与输入分开。同样地，它也是通过改变一臂中的折射系数来改变相位的。

上述两干涉仪中的部件，如干涉臂可以是自由空间传播的直线光程，也可以是微波波导；而分束器可以是某种光学部分反射镜，或是某种微波耦合器，但它们的函数都是相同的。

当用干涉仪测量等离子体电密度时，是把等离子体放在干涉仪中的一臂，并测量等离子体所引入的相位变化（即比较有和没有等离子体时两臂的相位差），

即：

$$\phi_p = \int (k_{\text{plasma}} - k_0) dl$$

$$\phi_p = \int (\cancel{k_0} - k_{\text{plasma}}) dl$$

$$= - \int (1 - \mu) \frac{\omega}{c} dl = - \frac{\omega}{c} \int \left[ 1 - \left( 1 - \frac{n_e}{n_c} \right)^2 \right] dl$$

如果等离子体密度足够低（即入射波频率足够高），使得  $n_e \ll n_c$ ，则  $\mu$  可近似表示为：

$$\mu \approx 1 - \frac{1}{2} \frac{n_e}{n_c} - \frac{1}{8} \left( \frac{n_e}{n_c} \right)^2 - \frac{3}{48} \left( \frac{n_e}{n_c} \right)^3$$

$$\omega^2 \equiv \omega_{pe}^2 \equiv \frac{e^2 n_e}{\epsilon_0 m_e}$$

$$n_c = 1.11 \times 10^{15} \lambda^{-2} [\text{m}^{-1}]$$

$$= 1.11 \times 10^{27} \lambda^{-2} [\mu\text{m}] [\text{m}^{-1}]$$

则相位移就可以简化为

$$\phi_p \equiv -\frac{\omega}{c} \int \frac{n_e}{n_c} dl = -r_e \lambda \int n_e dl$$

其中

$$r_e \equiv \frac{e^2}{4\pi\epsilon_0 m_e c^2} = 2.82 \times 10^{-15} \text{ m} \quad \text{为电子经典半径}$$

即干涉仪输出的相位移与路径积分成正比。

二. 相位移的测定:  $\vec{E}_1 \parallel \vec{E}_2$

由前述可知, 干涉仪的输出光强是两束相干光的电场相干叠加所形成的, 由于干涉效应, 其输出光强将因相长干涉或相消干涉 (即同相位或反相位) 而被调制。测量光强随两束相干光相位差变化的规律就可测定相位移  $\phi$ 。例如, 干涉仪中两臂的电场分别为:

$$E_1(t) = E_{10} \exp(i\omega t)$$

$$E_2(t) \exp(i\phi) = E_{20} \exp(i\omega t + i\phi)$$

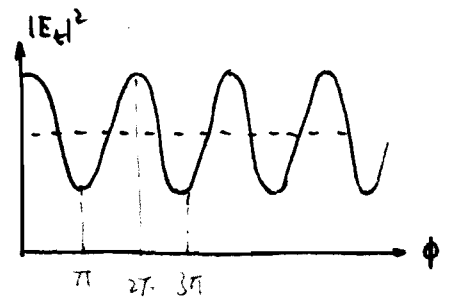
则它们的总电场为:

$$E_t(t) = E_1(t) + E_2(t) \exp(i\phi) = [E_{10} + E_{20} \exp(i\phi)] \exp[i\omega t]$$

根据探测仪对光强的测量是与  $|E_t|^2$  成正比的, 即

$$I \propto |E_t|^2 = [E_{10}^2 + E_{20}^2] \left[ 1 + \frac{2E_{10}E_{20}}{E_{10}^2 + E_{20}^2} \cos \phi \right]$$

由此可见, 输出光强除了有一直流分量外, 还有一个随余弦函数变化的调制分量, 如右图所示。测量调制分量随相位的变化, 就可测定相位差。我们定义干涉条纹的反差 (或对比度) 为



$$p \equiv \frac{I_{\max} - I_{\min}}{I_{\max} + I_{\min}} = \frac{2E_{10}E_{20}}{E_{10}^2 + E_{20}^2}$$

则 
$$I \propto |E_t|^2 = [E_{10}^2 + E_{20}^2] (1 + p \cos \phi)$$

在理想的情况下, 达到了相位测量的最大分辨率。

$$\Phi_p = r_e \lambda \int n_e d\lambda$$

$$\Phi_p(t) = r_e \lambda \int n_e(t) d\lambda$$

入射电场的频率为  $\omega_1$

$$I \propto |\vec{E}_t|^2 = |\vec{E}_1 + \vec{E}_2|^2$$

$$|\vec{E}_t|^2 = [E_{10}^2 + E_{20}^2] \left\{ 1 + \frac{2\vec{E}_{10} \cdot \vec{E}_{20}}{E_{10}^2 + E_{20}^2} \cos[\omega_m t + \Phi_p(t)] \right\}$$

其中第二项为干涉项，干涉项的对比度为：

$$p \equiv \frac{I_{\max} - I_{\min}}{I_{\max} + I_{\min}} = \frac{2\vec{E}_{10} \cdot \vec{E}_{20}}{E_{10}^2 + E_{20}^2}$$

由此可知：1. 当  $E_{10} = E_{20}$  及  $\vec{E}_{10} \parallel \vec{E}_{20}$  时，对比度  $p = 1$  达极大值。

2. 当  $\omega_m = 0$  时，为简并干涉仪（零拍干涉仪）

$\Phi_p$  的值是依赖于光波的幅度，

难以判断密度变化的方向

3. 当  $\omega_m \neq 0$  时，为非简并干涉仪

$\Phi_p$  的值是不依赖于光波的幅度

可以很方便地判断密度变化的方向

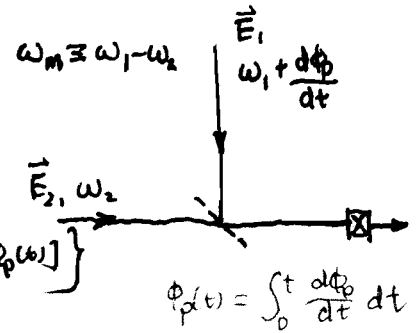
4. 当  $\vec{E}_{10}$  的偏振方向发生变化时，这对非简并干涉仪的

相位差的值是没有影响的

5. 当等离子体密度随时间变化时，这等效于对入射电磁

波的相位（频率）调制，使入射波的频率有

的瞬间变化  $\omega_1 + \frac{d\Phi_p(t)}{dt}$



一、干涉仪

二、相位测量

三、相位调制方法（ $\omega_m$  的获得）

(1)  $\vec{E}$

$$\begin{aligned}
 E_t^2 &= \left[ E_{10} \cos \omega_1 t + E_{20} \cos (\omega_2 t + \phi_p) \right]^2 \\
 &= E_{10}^2 \cos^2 \omega_1 t + E_{20}^2 \cos^2 (\omega_2 t + \phi_p) + 2 E_{10} E_{20} \cos \omega_1 t \cos (\omega_2 t + \phi_p) \\
 &= \frac{1}{2} E_{10}^2 (1 + \cos 2\omega_1 t) + \frac{1}{2} E_{20}^2 [1 + \cos 2(\omega_2 t + \phi_p)] \\
 &\quad + E_{10} E_{20} \left\{ \cos [(\omega_2 - \omega_1)t + \phi_p] + \cos [(\omega_1 + \omega_2)t + \phi_p] \right\} \\
 &= \frac{1}{2} (E_{10}^2 + E_{20}^2) \left\{ 1 + \frac{2 E_{10} E_{20}}{E_{10}^2 + E_{20}^2} \cos [(\omega_2 - \omega_1)t + \phi_p] \right\}
 \end{aligned}$$

$$\begin{aligned}
 E_t^2 &= \left[ E_{10} e^{i\omega_1 t} + E_{20} e^{i\omega_2 t + i\phi_p} \right] \left[ E_{10} e^{-i\omega_1 t} + E_{20} e^{-i\omega_2 t - i\phi_p} \right] \\
 &= E_{10}^2 + E_{20}^2 + E_{10} E_{20} \left[ e^{i(\omega_2 - \omega_1)t + i\phi_p} + e^{-i(\omega_2 - \omega_1)t - i\phi_p} \right] \\
 &= (E_{10}^2 + E_{20}^2) \left\{ 1 + 2 \frac{E_{10} E_{20}}{E_{10}^2 + E_{20}^2} \cos [(\omega_2 - \omega_1)t + \phi_p] \right\} \\
 &\quad \vec{E}_{10} \cdot \vec{E}_{20}
 \end{aligned}$$

$$\begin{aligned}
 \mu &= \left[ 1 - \frac{\omega_{pe}^2}{\omega^2} \right]^{\frac{1}{2}} = 1 - \frac{1}{2} \frac{\omega_{pe}^2}{\omega^2} + \frac{3}{8} \frac{\omega_{pe}^4}{\omega^4} - \dots \\
 &= 1 - \frac{1}{2} \frac{\omega_{pe}^2}{\omega^2} = 1 - \frac{1}{2} \frac{n_e}{n_c}
 \end{aligned}$$

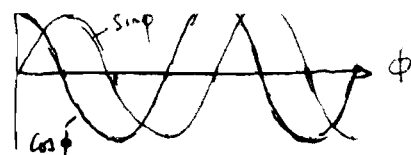
$$\begin{aligned}
 n_c &= \frac{\epsilon_0 m_e \omega^2}{e^2} = 1.24 \times 10^{21} \text{ f}^2 [\text{Hz}] = 1.11 \times 10^{15} \lambda^{-2} [\text{cm}] \\
 &= 1.11 \times 10^{27} \lambda^{-2} [\mu\text{m}] \quad [\text{m}^{-3}]
 \end{aligned}$$

同相

异相

Homodyne

Heterodyne



⑧ ⑫

上是由两个简单干涉仪组成，两个干涉仪的路径相同，但它们的相位差为  $\frac{\pi}{2}$ ，使有等差时，它们的输出的调制分量分别为  $\cos \phi$  和  $\sin \phi$ 。其原理很简单，因余弦函数  $\cos \phi$  相位灵敏度的零点是  $0, \pi, 2\pi, \dots$  等，而正弦函数的相位灵敏度的零点是  $\frac{\pi}{2}, \frac{3\pi}{2}, \frac{5\pi}{2}, \dots$  等，它们的零点相差  $\frac{\pi}{2}$ ，它们可以互补，即在余弦函数相位灵敏度零点处，可利用正弦函数判断相位变化方向；反之，在正弦函数相位灵敏度零点处，可利用余弦函数判断相位变化方向。利用这种干涉仪的这种特点，我们可以正确地判断相位的变化方向。此时，我们也可以按如下的方式理解：假定两个干涉仪的输出信号的调制分量分别为：

$$V_1 = A \cos \phi, \quad V_2 = A \sin \phi$$

经简单运算后有：

$$V_1 \frac{dV_2}{dt} = A^2 \cos^2 \phi \frac{d\phi}{dt}$$

同理有：

$$V_1 = A \cos \phi \quad \text{或} \quad V_2 = A \sin \phi$$

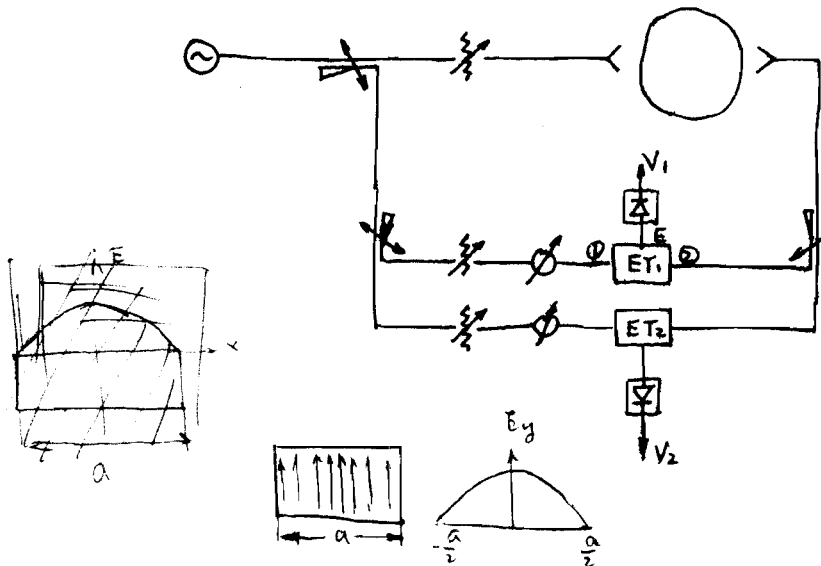
$$V_2 \frac{dV_1}{dt} = A^2 \cos^2 \phi \frac{d\phi}{dt}$$

由此可见：

- ① 从  $V_1$  或  $V_2$  的干涉信号可以求出等差干涉仪产生的相移  $\phi$
- ② 从  $V_1 \frac{dV_2}{dt}$  的符号可以判断  $\phi$  的变化方向。这是因为  $A^2 \cos^2 \phi > 0$ ， $V_1 \frac{dV_2}{dt}$  和  $\frac{d\phi}{dt}$  是同号的。

在微波波段，这种正交相位干涉仪可按如下安排：

$$H_{10} = TM_{10}$$



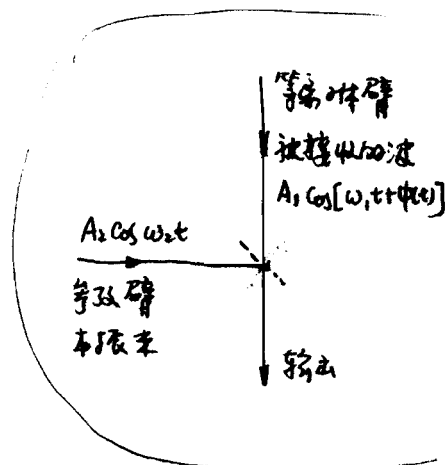
E-T接头的功射：当两个同相，功率的  $H_{10}$  模从 1,2 端输入时，E 端的输出功率为半；若两个  $H_{10}$  模的输入相位差为  $\frac{\pi}{2}$  时，而功率相同时，E 端的输出为两波功率之和。

这种干涉仪虽然克服了相位变化方向不确定性的问题,但是其相位测量精度仍受干涉仪中两臂光强变化的影响,而且光路复杂,现已很少采用了。

解决上述两个问题最彻底的方法是调制干涉仪的相位,它是一种使干涉仪交替地读出相位移的余弦和正弦函数的方法。如果其读出速度远快于中的变化的话,则相位移中就可以确切地确定。

因为波的频率就是它的相位的时间变化率。因此,相位的变化可以等效于频率的变化。这样,用频率来考虑相位检测问题及其解决办法——相位调制,就十分容易理解。下面我们将看到,它实质上就是调频波(FM)检测问题,这在无线电接收和其它类似领域中是普遍的问题。

现在考虑如前所述的干涉仪输出部分。两束光分别来自等腰干涉臂和参差臂的波在分束镜上互相叠加,并在输出端用平方律探测器检测其功率。来自等腰干涉臂的波束,因折射率变化而被相位调制,即频率调制,它是被接收的波;而来自参差臂的波可用激光束,探测器可视为混频器,它的输出信号中包含了两束波的和频及差频信号:



$$\begin{aligned} V &\propto [A_1 \cos(\omega_1 t + \phi) + A_2 \cos \omega_2 t]^2 \\ &= \frac{A_1^2}{2} + \frac{A_2^2}{2} + 2 A_1 A_2 \cos(\omega_1 t + \phi) \cos \omega_2 t \\ &= \frac{1}{2} (A_1^2 + A_2^2) + A_1 A_2 \cos[(\omega_1 + \omega_2)t + \phi] + A_1 A_2 \cos[(\omega_1 - \omega_2)t + \phi] \\ &= \frac{1}{2} (A_1^2 + A_2^2) + A_1 A_2 \cos[(\omega_1 - \omega_2)t + \phi] \int [\omega_0 + \frac{d\phi}{dt}] dt \end{aligned}$$

对于简单干涉仪,因为  $\omega_1 = \omega_2$ , 所以之前的初始(没有等腰干涉臂时)频率为零,即  $\Delta\omega_0 = 0$ ; 当有等腰干涉臂且长度变化时,它引起相位变化,因而  $\frac{d\phi}{dt} \neq 0$ , 故其输出频率  $\Delta\omega \neq 0$ 。但由于在这种情况下,与无线电接收中的零拍(Homodyne)检测方法相类似,干涉仪的输出只能给出频率差的绝对值,我们仍不能从输出信号辨别出  $\Delta\phi$  是正还是负值,从而无法辨认相位的变化方向。

Homodyne      Heterodyne

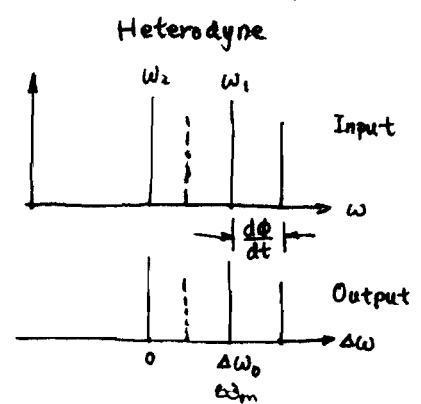
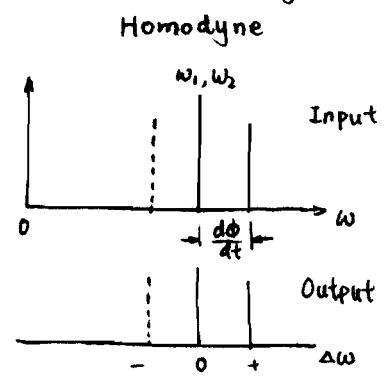
$$\Delta\omega_0 = |\omega_1 - \omega_2| = \omega_m \neq 0$$

现在, 若至简单的干涉仪中(红一臂), 引入了一个额外的(除了等离共振效应之外)相位调制, 现在没有等离共振时, 干涉仪输出的初始频率不等于零, 即  $\Delta\omega_0 = \omega_1 - \omega_2 \neq 0$ 。为简单计, 我们令  $\Delta\omega_0$  为常数。当有等离共振时, 相位变化将产生附加的频率调制, 则输出信号频率变为:

$$\Delta\omega = \overset{\omega_m}{\Delta\omega_0} + \frac{d\phi}{dt}$$

由此可见, 干涉仪输出频率信号频率, 会随等离共振相位变化方向的不同而增大或减小, 这样相位检测中的不确定性就不复存在了。与无线电接收机相类似, 我们称这类干涉仪为外差干涉仪。

零拍和外差 (Heterodyne) 接收中的频率关系可用下图说明:



从上图列看出, 在外差干涉仪中, 从输出频率相对于初始差频(即  $\Delta\omega_0$ , 亦称中频 IF) 的位置, 可以辨别  $\frac{d\phi}{dt}$  的正负值, 即相位的变化方向。

总之, 这类外差干涉仪有以下的优点: ① 可以辨别相位的变化方向; ② 不需要检测直流信号幅度, 所有检测电路都可以是 AC 耦合的; ③ 相位测量不再受信号幅度变化的影响了。这样, 它就从根本上解决了上述的相位检测的两个问题了, 因而这类外差干涉仪在等离共振诊断中应用得十分广泛。下面我们讲产生相位调制的各种方法及其检测方法。

外是干涉仪中相移的相位通常是用相位比较器自动完成的。因为对干涉仪提供两个输出信号，一个是参考信号

$$V_R = A_R \cos \omega_m t$$

另一个是探测信号

$$V_S = A_S \cos (\omega_m t + \phi_p)$$

它们都输入到相位比较器中，相位比较器在每个中频信号周期  $T_m = \frac{1}{f_m}$  内测量它们的正向

通过零点的时间差，由这个时间差的测量就可以导出等差频率产生的相移。

设两信号的正向过零时间分别为

$$\omega_m t_R = 2\pi m_R + \frac{3\pi}{2}$$

$$\omega_m t_S + \phi_p = 2\pi m_S + \frac{3\pi}{2}$$

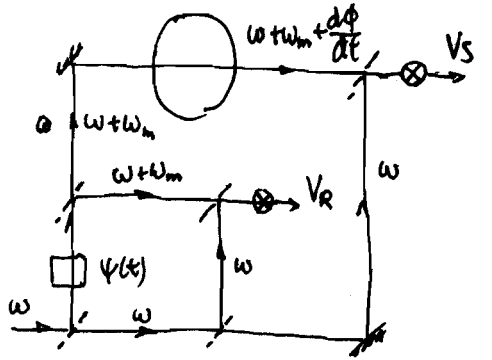
即  $m_R, m_S$  均为正整数，则由此可求得：

$$\phi_p = \omega_m (t_R - t_S) + 2\pi (m_S - m_R)$$

当相位差  $\phi_p < 2\pi$  时， $m_S = m_R$ ，则有

$$\phi_p = \omega_m (t_R - t_S) = 2\pi \frac{t_R - t_S}{T_m}$$

由此可见， $\phi_p$  的测量与信号的幅度无关，它可以从简单的时间测量中获得，而且时间测量有较高的精度。由于相位是在每个中频周期内测量一次，因而  $T_m$  决定了相移测量的时间分辨率。此外，还可以从时间差的符号确定测量时刻相位的变化方向。



### 三. 相位调制方法

可以产生相位调制或相移的方法很多，它与干涉仪所使用的辐射源的频率有关。最常用的方法有以下几种：

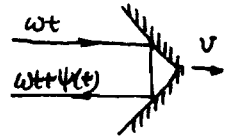


$$n_c = 1.11 \times 10^{15} \lambda^{-2} \text{ cm}^{-1} [\text{m}^{-3}]$$

= (16)

### 三、1. 运动反射镜——多普勒效应

它是最简单的相位调制方法之一，它是让干涉仪中任一臂的支束射向运动方向与束方向平行的运动反射镜，并从它反射回来（如右所示）。在这种情况下，如果反射镜以平行于束方向上的速度分量为  $v$ ，则反射束与入射束之间的光程差为  $2vt$ ，则它所产生的相位差为：



$$\psi(t) = \frac{2\pi}{\lambda} \cdot 2vt = 2\pi \frac{v}{\lambda} t = \omega_m t$$

其中  $T_m \equiv \frac{\lambda}{2v}$  ,  $f_m \equiv \frac{1}{T_m} = \frac{2v}{\lambda}$

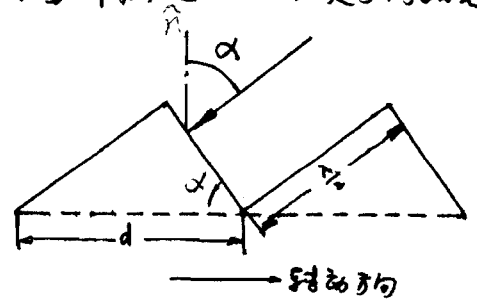
由此可见：为了达到相同的分辨率（这是由频率  $f_m$  决定的），对于波长较短的辐射源，反射镜的运动速度  $v$  较低。因此，这种相位调制方法多用于可见光或中、近红外激光干涉仪中。对于近红外激光干涉仪，由于其波长较长，为了达到相同的时间分辨率，要求反射镜的运动速度较高，这样当等效分辨率存在时间较长时（如 1 秒），就要求反射镜的运动距离较长。例如，对于 HCN 激光干涉仪， $\lambda = 337 \mu\text{m}$ ，若要求时间分辨率为  $10^{-4} \text{ s}$ ，则

$$v = \frac{\lambda}{2\tau} = 1.7 \text{ m/s}$$

若等效存在时间为 1 s，这就要求反射镜的运动距离为 1.7 m，这太难了，在实践中很难实现。为了克服这种困难，可以利用转动反射镜，但所得结果较为复杂，一般较少应用。

### 2. 转动圆柱光栅——多普勒效应

这也是利用多普勒效应产生频移的。如下图所示，圆柱光栅是闪耀光栅，它的刻槽平行于转轴，其闪耀角为  $\alpha$ ，槽面间的垂直距离为  $\lambda$ （以保证在不同槽面上反射的支束都具有相同的相位）。其光栅常数  $d = \lambda / (2 \sin \alpha)$ 。  $\lambda$



射光束经聚焦后射在光栅表面上。如果圆柱半径足够大，使得光栅曲率可忽略，则可以近似地认为整个光束是以入射角  $\alpha$  入射在光栅表面上（即垂直于刻槽表面入射）。则当光栅旋转时，衍射光束将受到一多普勒频移：

$$f_m = \frac{2V}{\lambda} = 2 \frac{2\pi R n \sin \alpha}{\lambda} = \frac{2\pi R n}{d} = N n$$

其中  $V = 2\pi R n \sin \alpha$  为光栅运动的线速度在入射光束方向上的分量

$$N = \frac{2\pi R}{d} = \frac{4\pi R \sin \alpha}{\lambda}$$

$n$  为光栅转速

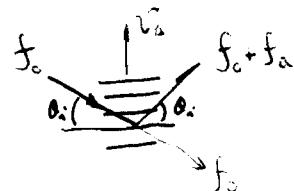
例如，对于 HCN 激光， $\lambda = 3.37 \times 10^{-4} \text{ m}$ ， $R = 6 \times 10^{-2} \text{ m}$ ， $\alpha = 54^\circ$ ， $N = 1800$ ，若分辨率  $\tau = f_m^{-1} = 10^{-4} \text{ s}$ ，则  $n = 5.56 \text{ 转/s}$ ，这样的转速是很容易实现的。当然，光栅转速还可以很容易地提高一数量级，则其分辨率时间就可以达  $10 \mu\text{s}$ 。这就是说，对于给定的光栅，只要改变光栅的转速，就可以很方便地改变频移  $f_m$  值。这种方法最常用于远红外和亚毫米波段。

### 3. 声光调制—多普勒效应

声波是一种纵向机械应力波，它在介质中传播时，会引起介质密度呈疏密交替的变化。介质密度的变化，在一级近似下，可引起与之成正比的折射率的改变，因而声波也可表为：

当  $k_0$  较大

$$\tilde{\mu}(x, t) = \tilde{\mu}_0 \cos(\omega_a t - k_a x), \quad v_a = \frac{\omega_a}{k_a}$$



若有一束光以角度  $\theta_i$  入射在声波波阵面上，对该光束而言，声波可看成是一系列部分反射镜，其间距为声波波长  $\lambda_a$ ，且其运动速度为  $v_a$ 。这是因为声波压缩处的折射率较高，在稀疏处折射率较低，因折射率的改变会引起反射，因而可将其视为反射镜。由于声波的周期性，其作用类似于间距为  $\lambda_a$  的晶面的规则排列，则当光束的入射角满足如下布拉格条件时，

$$2\lambda_a \sin \theta_i = \frac{\lambda_0}{\mu} \quad (\text{布拉格条件}) \quad \vec{k}_d = \vec{k}_0 + \vec{k}_a$$

$$f_d = f \pm f_a \quad \text{即 } \pm f_a$$

则在反射的方向上将产生一级衍射光。因声“晶体”以速度  $v_a$  运动，因而该一级衍射光的频率相对于入射频率  $f$  有了频移  $\pm f_a = \pm v_a / \lambda_a$ 。这样，一束光通过声光介质后，由于声波的衍射会产生空间上分离的、具有一定频差的两束光，利用这两束光分别作探测光和参光，就可组成外差干涉仪。

此外，理论计算表明，在严格的布喇格角入射条件下，声光的衍射效率为：

$$\eta = \frac{I_d}{I_0} = \sin^2 \left[ \frac{\pi}{\lambda_0} \sqrt{\frac{MLP_a}{2H}} \right]$$

其中  $M$  为介质的声光优值，它与介质的折射率、声电耦合系数、声速及介质中的声压有关  
 $P_a$  为超声功率

$L, H$  为超声换能器的长度和宽度

当  $\eta < 50\%$  时，上式可近似地表示为

$$\eta \approx \frac{\pi^2 MLP_a}{2H \lambda_0^2}$$

由此可见，声光的衍射效率与光波的波长  $\lambda_0$  的平方成反比，因而它只适用于可见光和近、中红外激光。这种方案产生频移的优点是：容易获得较高的频移（约几十 MHz 量级），外差干涉仪的时间分辨率高。

#### 4. 双相干辐射法：

这就是简单地利用略有频率差的两个相干辐射波，这种方案对波源的频率稳定性提出了十分严格的要求，这因为  $f_m/f$  通常是十分小的。然而，实际上这是可以解决的。

激光腔共振条件：
$$2L = q \frac{c}{2\mu L \cos \theta}$$

当用激光腔做辐射及时利用激光谐振腔的纵模频率与腔长有关的特点，即在谐振腔的增益带宽范围内，腔长的微小变化可引起谐振频率产生相应的变化：

$$f_m = f_0 \frac{\Delta L}{L}$$

其中  $f_0$  为腔长为  $L$  时的谐振频率。若有两个激光腔，除了它们的腔长有微小偏差外，其它参数完全相同，则它们的谐振频率之差为  $f_m = f_0 \frac{\Delta L}{L}$ 。对于近红外激光，

为获得  $f_m = 1\text{MHz}$  的频率所需的腔长偏调量  $\Delta L$  是可以实现的。如最早应用双激光器的外差干涉仪是用  $\text{CO}_2$  激光泵浦的甲醇 ( $\text{CH}_3\text{OH}$ ) 远红外激光器 (它泵浦远红外激光器: 是极化分子气体通过吸收  $\text{CO}_2$  辐射光子, 从它的基态转动能级跃迁到上转动能级的某一振动能级, 然后通过邻近的振动能级间的跃迁发生激光作用, 而发出相干的远红外辐射, 最后通过弛豫过程而回到基态), 它的波长为  $\lambda = 118.8\mu\text{m}$ ,  $f_0 = 2.5 \times 10^{12}\text{Hz}$ , 其腔长在  $1\text{m}$  量级, 则

$$|f_m/\Delta L| \approx 2.5\text{MHz}/\mu\text{m}$$

若用精密的虫螺旋测微计调激光腔长, 其可调的最小位移是  $0.025\mu\text{m}$ , 因而能达到  $1\text{MHz}$  量级的频率是可以实现的。由于用这种方法获得的频率稳定性, 主要取决于激光频率的相对稳定性, 在采取稳频措施时, 频率的短期稳定性可达  $2\%$ , 长期稳定性可达  $10\%$ , 因此在频率稳定性要求较高的场合, 要采取稳频措施。用这种双激光器的系统的最大优点是: 频率可很精确地达到  $1\text{MHz}$ , 该系统具有较高的时间分辨率, 能测量电子速度的快速变化。

在微波和毫米波段, 也可以利用具有一定频率的微波源做辐射源。因为微波源大多都可用机械和电调谐的方法, 使源频率可在较大的范围内调谐, 因而可以很精确地(或)两个微波源的频率调至所需要的频率。一般讲, 当频率高达几十  $\text{MHz}$  时, 无需采取稳频措施, 仍可保证具有一定的频率稳定性, 且相位噪声也可较小。当频率在  $1 \sim 10\text{MHz}$  量级时, 为保证相位噪声较小, 一般需用自动频率控制 (AFC) 电路去稳定两源的频率。

## 5. 扫频干涉仪

这是利用微波源可方便地电调谐的特点。其具体做法是: 用一锯齿波信号调制微波源的频率, 使其输出频率产生周期性的线性变化, 然后利用长波导的色散特性, 把频率调制转变为相位调制, 从而产生一固定的频率  $f_m$ 。

设微波源被一锯齿波信号调制, 使其输出近似为线性变化的调制信号

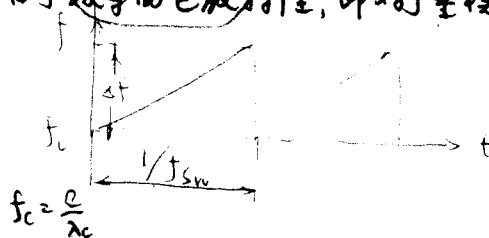
$$f(t) = f_0 + \Delta f f_{sw} t \quad 0 \leq t \leq \frac{1}{f_{sw}}$$

$$f(t+\tau) = f_0 + \Delta f f_{sw} (t+\tau)$$

$$f(t+\tau) - f(t) = \tau \Delta f f_{sw} = n f_{sw} \quad n \equiv \Delta f \tau$$

其中  $\Delta f$  为调制深度,  $f_{sw}$  为扫描频率。由于波导的色散特性, 即对于基模波导, 在其中传播的电磁波波长为

$$\lambda_g = \frac{\lambda}{\sqrt{1 - (\lambda/\lambda_c)^2}} = \frac{c}{\sqrt{f^2 - f_c^2}}$$

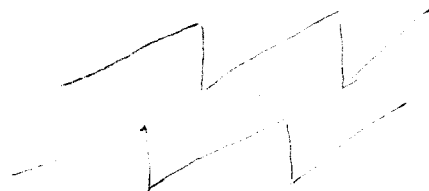


其中  $\lambda_c = 2a$  ( $a$  为波导宽边边长) 为截止波长,  $f_c$  为相应的截止频率; 因而波导波长是与频率有关的。这样, 上述的频率调制, 在波导中就变为相应的相位调制, 即

$$\phi(t) = \frac{2\pi}{\lambda_g} L = \frac{2\pi L}{c} \sqrt{f^2 - f_c^2} \quad f(t) = f_0 + \Delta f f_{sw} t$$

$L$  为波导长度。由于  $\Delta f \ll f_0$  (一般  $\Delta f$  为几百 kHz ~ 几 MHz), 上式可近似地代入为

$$\begin{aligned} \phi(t) &\approx \frac{2\pi L}{c} [f_0^2 - f_c^2 + 2f_0 \Delta f f_{sw} t]^{\frac{1}{2}} \\ &\approx \frac{2\pi L}{c} \sqrt{f_0^2 - f_c^2} \left( 1 + \frac{f_0 \Delta f f_{sw}}{f_0^2 - f_c^2} t \right) \\ &= \frac{2\pi L}{\lambda_{g0}} + \frac{L}{\lambda_0} \frac{\lambda_{g0}}{\lambda_0} \frac{\Delta f}{f_0} \Omega t \end{aligned}$$



其中

$$\lambda_{g0} = \frac{c}{\sqrt{f_0^2 - f_c^2}}, \quad \lambda_0 = \frac{c}{f_0}, \quad \Omega = 2\pi f_{sw}$$

如果两臂波导的长度差为  $\Delta L$ , 则两臂固有的相位差为

$$\Delta\phi(t) = \frac{2\pi \Delta L}{\lambda_{g0}} + \frac{\Delta L}{\lambda_0} \frac{\lambda_{g0}}{\lambda_0} \frac{\Delta f}{f_0} \Omega t$$

如果选择波导长度差满足下述关系:

$$\frac{\Delta L}{\lambda_0} \frac{\lambda_{g0}}{\lambda_0} \frac{\Delta f}{f_0} \equiv m$$

$$\begin{aligned} f_m &= \frac{d\phi}{dt} \frac{L}{v_p} = \frac{\Delta f}{T_{sw}} \frac{L}{c} \\ &= \frac{\Delta f L}{T_{sw} f_0 \lambda_0} = \frac{\Delta f}{f_0} \cdot \frac{L}{\lambda_0} \cdot f_{sw} \end{aligned}$$

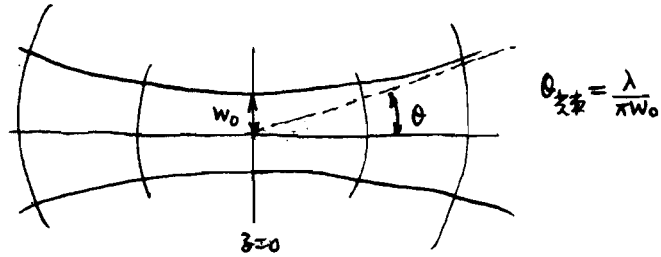
则

$$\Delta\phi(t) = \frac{2\pi \Delta L}{\lambda_{g0}} + m \Omega t \quad f_m = m \Omega$$

这样, 在干涉仪的两臂就可以获得固定的频率  $f_m$ 。这种产生频率调制的方法的优点是: 便于多道应用, 且不同干涉道中使用不同的波导长度, 就可以方便地使各道获得不同



由上式可知, 相干辐射束在自由空间中传播时, 其场振幅在某一横截面上的分布是按高斯函数分布的, 因而称之为高斯光束。其中各参数的物理意义如下:  $W(z)$  定义了场的幅度下降至轴上值的  $\frac{1}{e}$  的径向位置, 它称为束半径。  $W_0$  是束半径的最小值, 称为束腰半径。而  $R(z)$  是束腰至距束腰  $z$  处波阵面的曲率半径 (近似于球面)。  $z_R$  是束半径为束腰半径的  $\sqrt{2}$  倍时的轴向距离, 称为瑞利距离。在  $z \leq z_R$  时, 这是高斯光束的近场传播区; 当  $z \gg z_R$  时, 为高斯光束的远场传播区, 在此区  $W(z)$  近似地表示为:



远场传播区, 在此区  $W(z)$  近似地表示为:

$$W(z) = \frac{\lambda}{\pi W_0} z$$

由此可知, 随着传播距离  $z$  的增大, 束半径也随之线性地增大, 光束也扩散了。

其极限发散角为: (半发散角)

$$\theta_{\text{发散}} = \frac{dW(z)}{dz} = \frac{\lambda}{\pi W_0} = \frac{W_0}{z_R}$$

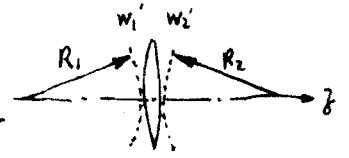
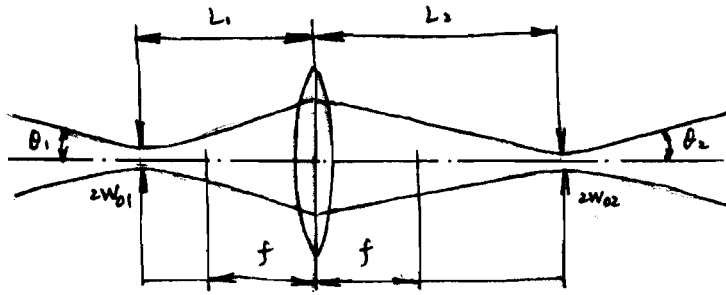
这表示在束腰处是圆形的, 随着  $z$  增大, 圆面面积上光强分布不均匀, 中心光强最强

它是波的衍射现象的严格表现。由此可见, 高斯光束区别于非相干光束的重要特征是: 它是衍射限制的光束, 即束的发散角和束尺寸的关系是唯一地由衍射原理决定的。

此外, 由上述可知, 对于给定波长的光, 其最主要的特征参数是束腰半径  $W_0$  及其位置, 它们确定之后, 高斯光束的传播特性也就确定了。

由于高斯光束随着传播距离的增大, 束半径也随之增大。而在实际应用中, 常要求束半径适当地小, 因而通常借助于透镜组来传输高斯光束, 以便其具有一定的束半径。

用于传输高斯光束的薄透镜公式如下:



$$\frac{1}{R_2} = \frac{1}{R_1} - \frac{1}{f}$$

$$\frac{1}{q(z)} = \frac{1}{R(z)} - i \frac{\lambda}{\pi w^2(z)}$$

$$w_1' = w_2'$$

$$\frac{1}{q_2} = \frac{1}{q_1} - \frac{1}{f}$$

$$q(z) = z + q_0 = z + i \frac{\lambda}{\pi w_0^2}$$

$$\begin{cases} q_1 = L_1 + i \frac{\lambda}{\pi w_{01}^2} \\ q_2 = L_2 + i \frac{\lambda}{\pi w_{02}^2} \end{cases}$$

$$\begin{cases} \frac{L_2 - f}{L_1 - f} = \frac{w_{02}^2}{w_{01}^2} \\ (L_1 - f)(L_2 - f) = f^2 - \left( \frac{\pi w_{01} w_{02}}{\lambda} \right)^2 \end{cases}$$

或

$$\begin{cases} w_{02}^2 = \frac{f^2 w_{01}^2}{(L_1 - f)^2 + z_{r1}^2} = (\alpha w_{01})^2 \\ L_2 = f + \frac{f^2 (L_1 - f)}{(L_1 - f)^2 + z_{r1}^2} = f + \alpha^2 (L_1 - f) \end{cases}$$

其中

$$\alpha = \frac{|f|}{\sqrt{(L_1 - f)^2 + z_{r1}^2}}$$

若用参数  $\alpha$  表示, 经透镜传输后, 输出束的参数为:

$$\begin{cases} w_{02} = \alpha w_{01} & L_2 = f + \alpha^2 (L_1 - f) \\ \theta_2 = \frac{\lambda}{\pi w_{02}} = \frac{\theta_1}{\alpha} \\ z_{r2} = \frac{w_{02}}{\theta_2} = \frac{\alpha w_{01}}{\theta_1 / \alpha} = \alpha^2 z_{r1} \end{cases}$$

由于高斯光束的光强是按高斯函数分布的, 因而原则上讲, 其光强是集中在其光轴附近, 但在整个横截面上都有光强分布。当用于传输光束的光学元件直径有限时 (直径为  $D$ ), 由高斯分布函数可计算出: 射在直径为  $D$  的光学元件上的光强:

$$P_D = P_0 \left[ 1 - \exp\left(-\frac{2D^2}{d_0^2}\right) \right]$$

$d_0$  为束腰直径 (通常用  $e^{-1}$  直径)



$$\omega = \omega_{pe} \equiv \frac{e^2 n_c}{\epsilon_0 m_e} \Rightarrow n_c = 1.11 \times 10^{15} (\lambda[m])^{-2} [m^{-3}] = 1.11 \times 10^{27} (\lambda[\mu m])^{-2} [m^{-3}] = 2.7$$

由此可知, 当光学元件通光孔径有限时, 高频束通过它时将会有部分损失。当  $D \geq 1.5d$  时, 束流的传播损失可小于 1%。因此, 做为一般设计规律, 光学元件的选择原则是:

$$D \geq 1.5d, \text{ 以保证光功率的损失小于 } 1\%$$

### 3. 折射 (图 4.2)

J. Appl. Phys. 32 (1961), 689

当沿波束的传播路径上, 等离子体有横向密度梯度时, 探测束将产生折射 (由于变化), 使其偏离直线传播轨迹。这对干涉测量有重要影响, 特别是在多道干涉仪中, 严重的折射效应会导致不同的干涉道之间产生串扰。因此, 我们必须对折射效应所产生的探测束的最大偏转角, 做一定量估计。对于圆柱对称的等离子体, 若其电子密度分布是抛物线分布,

$$\text{即 } n_e(r) = \begin{cases} n_{e0} (1 - \frac{r^2}{a^2}) & r \leq a \\ 0 & r > a \end{cases}$$

则利用 Snell 折射定理可以计算, 弦心距为  $x$  的探测束其偏转角为

$$\psi(x) = \sin^{-1} \left\{ \frac{\frac{n_{e0}}{n_c} \left[ \left( \frac{x}{a} \right)^2 - \left( \frac{x}{a} \right)^4 \right] \frac{x}{2}}{\left[ \frac{n_{e0}}{n_c} \left( \frac{x}{a} \right)^2 + \frac{1}{4} \left( 1 - \frac{n_{e0}}{n_c} \right)^2 \right] \frac{x}{2}} \right\} \sin^{-1} \left\{ \frac{\frac{n_{e0}}{n_c} \left[ \left( \frac{x}{a} \right)^2 - \left( \frac{x}{a} \right)^4 \right] \frac{x}{2}}{\left[ \frac{n_{e0}}{n_c} \left( \frac{x}{a} \right)^2 + \frac{1}{4} \left( 1 - \frac{n_{e0}}{n_c} \right)^2 \right] \frac{x}{2}} \right\}$$

由此求得当

$$x_0 = a \left( \frac{1 - n_{e0}/n_c}{2} \right)^{1/2} \approx 0.7a \quad (\text{当 } \frac{n_{e0}}{n_c} \ll 1 \text{ 时})$$

时有最大偏转角

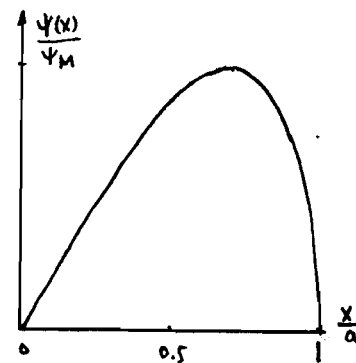
$$\psi_m \equiv \frac{n_{e0}}{n_c} = \frac{\omega_{pe}^2}{\omega^2} < \psi_c$$

$$\psi_m = \sin^{-1} \left( \frac{n_{e0}}{n_c} \right) \approx \frac{n_{e0}}{n_c} = 8.97 \times 10^{-16} n_{e0} [m^{-3}] \lambda^2 [m]$$

下面是由上式计算的偏转角  $\frac{\psi(x)}{\psi_m}$  随  $\frac{x}{a}$  变化的计算曲线。

若探测束到等离子体截面中心的距离为  $S$ , 则由此最大偏转角所造成的反射束的最大位置偏移为:

$$\Delta_m = S \psi_m = 8.97 \times 10^{-16} S n_{e0} \lambda^2$$



实际上可接受的最大偏转角  $\psi_m$  是由定位问题决定的, 这一定定下后, 则对频率  $\omega$  有如下限制:

$$\omega \geq \omega_{pe} / \sqrt{\psi_m}$$

= (25)

$$\lambda_1 \gg \lambda_2 \quad \begin{aligned} \psi_1 &= r_0 \lambda_1 \int n_e dx + \frac{2\pi}{\lambda_1} \delta l \\ \psi_2 &= r_0 \lambda_2 \int n_e dx + \frac{2\pi}{\lambda_2} \delta l \end{aligned} \Rightarrow \Delta \psi = \frac{r_0 \lambda_1 - r_0 \lambda_2}{r_0 (\lambda_1^2 - \lambda_2^2)} \int n_e dx + \frac{2\pi}{\lambda_1^2 - \lambda_2^2} \delta l$$

#### 4. 源频率的选择

由上述可知, 对于等离子体密度测量的辐射源的要求是, 其频率必须高于预计的最高电子等离子体频率, 以避免射线束在等离子体中折射偏转或截止。然而, 源频率也不能选得太高, 因为频率越高, 对于仪器的机械稳定性的要求也越高。特别是在噪声环境比较恶劣的等离子体实验室中使用的干涉仪, 光路中光学部件的机械振动将产生假的光程(即相位变化)。若机械振动所产生的总的假光程扰动为  $\delta l$ , 则它所产生的假的相位变化为

$$\delta \psi = \frac{2\pi}{\lambda} \delta l$$

$$\phi_p = r_e \lambda \int n_e dx = r_e \lambda \left( n_e \Delta x + \frac{2\pi}{\lambda} \delta l \right)$$

由此可见, 对于给定的光程扰动, 探测波长越短, 所产生的相位测量误差越大。因等离子体所产生的相移是  $\phi_p \propto \lambda$ , 因此振动产生的相位误差与等离子体相位变化之比是与  $\lambda^2$  成反比。故对短波长来说, 机械振动变成量子力学问题。

当机械振动是不可避免时, 可以用两个不同波长的同时测量相移的办法, 来补偿振动所造成的相位测量误差。用比较短的波长(通常可见光)用来测量机械振动, 而比较长的波长的相移与等离子体折射率有较弱的依赖关系, 把长波长的相移(包括量子力学和机械振动的相移), 减去适当比例的短波长的相移, 就可以消除振动的影响。另一办法是用短波长探测出的输出去反馈稳定干涉仪的光程。例如, 利用一压电晶体去反馈控制一反射镜, 以保持短波下的相位差是常数。这样做就不需要再在短波下进行条纹计数, 但要求晶体有足够快的位移, 以能跟随机械振动的变化。

此外, 探测出的噪声电平、相移的测量精度等决定了干涉仪的可测的最小相移  $\phi_{min}$ 。当  $\phi_{min}$  给定时, 相应的可测量的精度也被限定了, 因为

$$(\int n_e dx)_{min} = \frac{\phi_{min}}{r_e \lambda}$$

由此可见, 当  $\phi_{min}$  给定时, 可测的精度与  $\lambda$  成反比, 它要求源频率也不能太高。

总之, 上述诸因素对波长(或频率)的选择是相互制约的, 需根据具体情况加以具体分析。做为一般原则, 可用下述关系粗略地选择探测波长:

$$(5 \sim 10) n_{eo} = n_c$$

总之, 由频率选择需综合考虑如下几个因素:

1. 截止 (3 种条件)

$$n_e < n_c = 1.11 \times 10^{15} \lambda^2 [\text{m}] \quad [\text{m}^{-3}]$$

2. 折射 (避免不同方向的串扰)

$$\frac{n_{e0}}{n_c} < \psi_M$$

若孔径直径为  $d$  的截止面由  $M$  个干涉道, 则其间距为  $\Delta x = d/M$ , 其最大偏移角为  $\psi_M = \Delta x/d = 1/M$

故有  $\frac{n_{e0}}{n_c} < \frac{1}{M}$ , 这比截止条件更严格

3. 衍射:

$$0 \leq \frac{\lambda}{\pi W_0}$$

4. 机械损耗

$$\delta\varphi = \frac{2\pi}{\lambda} \delta l$$

对  $\lambda$  的相对误差为:  $\frac{\delta\varphi}{\varphi_p} = 2\pi\delta l / (r_e \lambda^2 \int n_e dl)$

5. 可测的最小相位: 由可测的最小相位  $\varphi_{min}$  决定

$$\phi_{min} = r_e \lambda \int n_e dl$$

$$(\int n_e dl)_{min} = \phi_{min} / (r_e \lambda)$$



由此可见：当入射波频率为异常波时，若用寻常波  
的色散关系由寻常波引入的相移相移导致相位误差  
时，其相对误差为：

$$\frac{\Delta\phi_p}{\phi_p} \approx \frac{\int n_e \frac{\omega_{ce}^2}{\omega^2} dl}{\int n_e (1 + \frac{\omega_{ce}^2}{\omega^2}) dl} \quad (\text{当 } \omega_{pe}^2 \ll \omega^2, \omega_{ce}^2 \ll \omega^2 \text{ 时})$$

2. 法拉第旋转：

设  $\vec{k} \parallel \vec{B}_0 \parallel \hat{z}$ ，入射波  $\vec{E}_i = \hat{x} E_{i0} \cos \omega t$

线偏振波可表示为：

$$\vec{E}_i(\omega) = \vec{E}_L(\omega) + \vec{E}_R(\omega)$$

$$\text{即 } \vec{E}_L(\omega) = \hat{x} \frac{E_{i0}}{2} \cos \omega t - \hat{y} \frac{E_{i0}}{2} \sin \omega t$$

$$\vec{E}_R(\omega) = \hat{x} \frac{E_{i0}}{2} \cos \omega t + \hat{y} \frac{E_{i0}}{2} \sin \omega t$$

当通过寻常波的距离为  $l$  时，则出射波为：

$$\vec{E}_L(l) = \hat{x} \frac{E_{i0}}{2} \cos(\omega t - \phi_L) - \hat{y} \frac{E_{i0}}{2} \sin(\omega t - \phi_L)$$

$$\vec{E}_R(l) = \hat{x} \frac{E_{i0}}{2} \cos(\omega t - \phi_R) + \hat{y} \frac{E_{i0}}{2} \sin(\omega t - \phi_R)$$

其合成波为

$$\vec{E}(l) = \vec{E}_L(l) + \vec{E}_R(l)$$

$$= \hat{x} E_{i0} \cos\left(\frac{\phi_L - \phi_R}{2}\right) \cos\left(\omega t - \frac{\phi_L + \phi_R}{2}\right)$$

$$+ \hat{y} E_{i0} \sin\left(\frac{\phi_L - \phi_R}{2}\right) \sin\left(\omega t - \frac{\phi_L + \phi_R}{2}\right)$$

由此可见，由于法拉第旋转使出射波的偏振方向转过一角度

$\alpha \equiv \frac{\phi_L - \phi_R}{2}$ ，从而使出射波的  $\hat{x}$  分量不等于零，但又  $\hat{y}$  分量

的相位为： $\frac{\phi_L + \phi_R}{2} = \frac{\omega}{c} \int \frac{\mu_L + \mu_R}{2} dl \approx \frac{\omega}{c} \int \mu_0 dl$

$$(\text{当 } \frac{\omega_{pe}^2}{\omega^2} \ll 1, \frac{\omega_{ce}}{\omega} \ll 1 \text{ 时})$$

由此可见，法拉第旋转对于频率与波长的比例量没有  
影响。

(a) 法拉第旋转

设  $\vec{k} \parallel \vec{B}_0 \parallel \hat{z}$

垂直入射光 ( $\theta = 0$ )

光

$$\vec{E}(0) = \hat{x} E_0 \cos \omega t = \vec{E}_R + \vec{E}_L \quad \text{线偏振光}$$

$$\vec{E}_R(0) = \hat{x} \frac{E_0}{2} \cos \omega t + \hat{y} \frac{E_0}{2} \sin \omega t \quad \text{右旋波}$$

$$\vec{E}_L(0) = \hat{x} \frac{E_0}{2} \cos \omega t - \hat{y} \frac{E_0}{2} \sin \omega t \quad \text{左旋波}$$

通过等离子体后, 在  $z=l$  处, 左、右旋波分别为:

$$\vec{E}_R(l) = \hat{x} \frac{E_0}{2} \cos(\omega t - \phi_R) + \hat{y} \frac{E_0}{2} \sin(\omega t - \phi_R)$$

$$\vec{E}_L(l) = \hat{x} \frac{E_0}{2} \cos(\omega t - \phi_L) - \hat{y} \frac{E_0}{2} \sin(\omega t - \phi_L)$$

它们的合成波电场为:

$$\vec{E}(l) = \vec{E}_R(l) + \vec{E}_L(l)$$

$$= \hat{x} E_0 \cos\left(\frac{\phi_L - \phi_R}{2}\right) \cos\left(\omega t - \frac{\phi_R + \phi_L}{2}\right)$$

$$- \hat{y} E_0 \sin\left(\frac{\phi_L - \phi_R}{2}\right) \cos\left(\omega t - \frac{\phi_R + \phi_L}{2}\right)$$

由此可见, 由于在等离子体中左、右旋波的相速度不同, 使入射波电场的偏振面发生了旋转, 其旋转角为  $\alpha = \frac{\phi_L - \phi_R}{2}$ , 从而使其出现了  $\hat{y}$  方向的偏振分量。但无论是  $\hat{x}$  还是  $\hat{y}$  分量, 它们通过等离子体后所产生的相位移均为:

$$\phi_p = \frac{\omega}{c} \int_0^l \left[1 - \frac{\omega_{pe}^2}{\omega^2}\right] dz$$

由左、右旋波色散关系知, 当  $\frac{\omega_{pe}^2}{\omega^2} \ll 1$  及  $\frac{\omega_{ce}}{\omega} \ll 1$  时, 有近似式为:

$$\mu_L = \left[1 - \frac{\omega_{pe}^2}{\omega^2} \left(1 + \frac{\omega_{ce}}{\omega}\right)^{-1}\right]^{\frac{1}{2}} \approx 1 - \frac{1}{2} \frac{\omega_{pe}^2}{\omega^2} \left(1 - \frac{\omega_{ce}}{\omega}\right)$$

$$\mu_R = \left[1 - \frac{\omega_{pe}^2}{\omega^2} \left(1 - \frac{\omega_{ce}}{\omega}\right)^{-1}\right]^{\frac{1}{2}} \approx 1 - \frac{1}{2} \frac{\omega_{pe}^2}{\omega^2} \left(1 + \frac{\omega_{ce}}{\omega}\right)$$

$$\frac{\mu_R + \mu_L}{2} \approx 1 - \frac{1}{2} \frac{\omega_{pe}^2}{\omega^2} = \mu_0$$

$$\frac{\mu_L - \mu_R}{2} \approx \frac{1}{2} \frac{\omega_{pe}^2}{\omega^2} \frac{\omega_{ce}}{\omega}$$

由此可见, 对于外量子干涉仪, 法拉第旋转对等离子体产生的相位移的影响是已没有影响的 (因为它是与干涉条纹无关)。

# ▲ 高气压等离子体干涉仪

这时, 漂移频率与  $\omega$  相比较, 这时电磁波传播的影响不予忽略。当  $B_0 = 0$  时, 电子运动方程为:

$$m_e \frac{d\vec{v}}{dt} = -e\vec{E} - \nu m_e \vec{v}$$

由此运动方程求解得介电常数:

$$\mu^2 = 1 - \frac{\omega_{pe}^2}{\omega^2 + \nu^2} \left( 1 + i \frac{\nu}{\omega} \right)$$

由此可得:

$$\mu_r \approx \text{Re}(\mu) = \left\{ \frac{1}{2} \left( 1 - \frac{\omega_{pe}^2}{\omega^2 + \nu^2} \right) + \frac{1}{2} \left[ \left( 1 - \frac{\omega_{pe}^2}{\omega^2 + \nu^2} \right)^2 + \left( \frac{\omega_{pe}^2}{\omega^2 + \nu^2} \frac{\nu}{\omega} \right)^2 \right]^{\frac{1}{2}} \right\}^{\frac{1}{2}}$$

$$\mu_i \approx \text{Im}(\mu) = \left\{ -\frac{1}{2} \left( 1 - \frac{\omega_{pe}^2}{\omega^2 + \nu^2} \right) + \frac{1}{2} \left[ \left( 1 - \frac{\omega_{pe}^2}{\omega^2 + \nu^2} \right)^2 + \left( \frac{\omega_{pe}^2}{\omega^2 + \nu^2} \frac{\nu}{\omega} \right)^2 \right]^{\frac{1}{2}} \right\}^{\frac{1}{2}}$$

实部  $\mu_r$  引起相移

$$\phi_p = \frac{\omega}{c} \int_0^L (1 - \mu_r) dl$$

而其虚部  $\mu_i$  引起通过等离子体时电磁波幅度衰减

$$E_1 = E_{10} e^{-\frac{\omega}{c} \int_0^L \mu_i dl} = E_{10} \alpha$$

即  $\alpha \equiv e^{-\frac{\omega}{c} \int_0^L \mu_i dl}$  为衰减因子

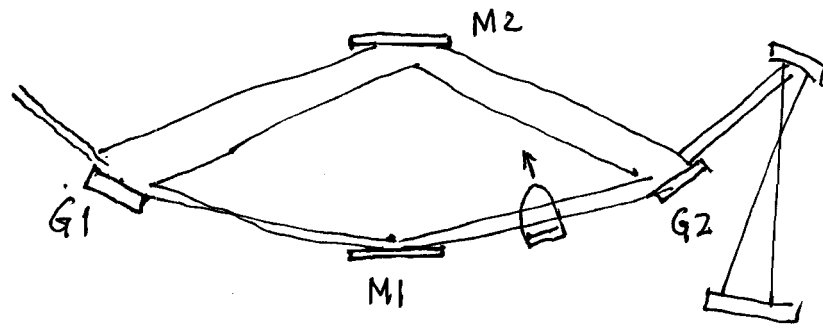
正交干涉仪

$$V_{\cos} = 2 E_{10} E_{20} \alpha \cos \phi_p$$

$$V_{\sin} = 2 E_{10} E_{20} \alpha \sin \phi_p$$

> 产生李萨如图

# ▲ 软 X 射线激光干涉仪诊断高密度激光等离子体



## 改进型马赫-曾德干涉仪

1. 第一个衍射光栅 G1 将入射束的射束分成两束 (零级束和一级衍射束) —— 成为干涉仪两臂 (控入射)
2. 控入射反射镜把两束光重新射入第二个衍射光栅. 它们再成一级光形成干涉图案
3. 调节控入射反射镜的倾角, 可以调节条纹间距和条纹的方向
4. 在时间分辨率, 避免等离子体运动引起干涉条纹模糊

Optics Letters 25 (2000), 350

Applied Optics 43 (2004), 3938

Physics of Plasmas 10 (2003), 203



## §2.3 磁场的测量

## 一. 原理—法拉第旋转

## 1. 非共振磁场

当电磁波平行于磁场传播时, 有两个本征模, 假定:

$\omega_p^2 \ll \omega^2$ ,  $\omega_{ce} \ll \omega$ , 它们的折射率分别近似为:

$$\mu_L = \left[ 1 - \frac{\omega_p^2}{\omega^2} \left( 1 + \frac{\omega_{ce}}{\omega} \right)^{-1} \right]^{\frac{1}{2}} \approx 1 - \frac{1}{2} \frac{\omega_p^2}{\omega^2} \left( 1 - \frac{\omega_{ce}}{\omega} \right)$$

$$\mu_R = \left[ 1 - \frac{\omega_p^2}{\omega^2} \left( 1 - \frac{\omega_{ce}}{\omega} \right)^{-1} \right]^{\frac{1}{2}} \approx 1 - \frac{1}{2} \frac{\omega_p^2}{\omega^2} \left( 1 + \frac{\omega_{ce}}{\omega} \right)$$

令  $\vec{B}_0 \parallel \hat{z} \parallel \vec{k}$ , 初始入射波为线偏振波  $\vec{E}(0) = E \hat{x}$ ,

它可以分解为同频率旋转的左、右旋波, 即

$$\vec{E}(0) = \frac{E}{2} [(1, i) + (1, -i)]$$

当它传播距离  $z$  时, 该波就变为:

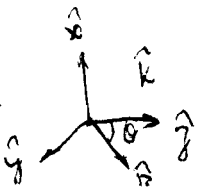
$$\vec{E}(z) = \frac{E}{2} [(1, i) \exp[i\mu_L \frac{\omega}{c} z] + (1, -i) \exp[i\mu_R \frac{\omega}{c} z]]$$

$$= E [\cos \alpha, \sin \alpha] \exp[i\phi_p]$$

$$\text{即 } \alpha = \frac{\mu_L - \mu_R}{2} \frac{\omega}{c} z = \frac{\omega_p^2 \omega_{ce}}{2 \omega^2 c} z = \frac{e^2}{2 \pi m_e c} \lambda^2 n_e B_0 z$$

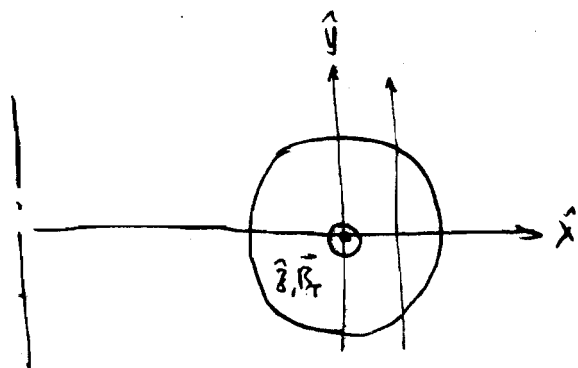
$$\phi_p = \frac{\left( 1 - \frac{\mu_L + \mu_R}{2} \right)}{2} \frac{\omega}{c} z = \frac{\omega_p^2}{2 \omega c} z = \lambda^2 n_e z$$

$\alpha$  是电磁波通过等离子体后偏振子转过的角度, 称为法拉第旋转角。当知道了法拉第旋转角, 由上述  $\alpha$  的表达式即可求出  $(n_e B_0)$  的数值 (对非均匀等离子体)。



在一般情况下, 在非共振区 ( $\gamma \equiv \frac{\omega_{ce}}{\omega} \ll 1$ ), 又有

$$\gamma \sec \theta \ll 1 \quad (\text{不太接近于垂直传播}), \quad \alpha \approx \frac{1}{2} \left[ \frac{2\gamma \cos \theta}{(1-\gamma)^2} \right] \frac{\omega}{c} z$$



$$m_e \frac{d\vec{v}}{dt} = -e(\vec{E} + \vec{v} \times \vec{B}_0) \quad \vec{B}_0 = (B_{p\perp}, B_{p\parallel}, B_r)$$

$$\vec{B}_{p\parallel} \parallel \hat{y}, \quad \vec{B}_{p\perp} \parallel \hat{x}$$

由此可得  $\vec{v} = f(\vec{E})$

$$\vec{j} = en_e \vec{v} = en_e f(\vec{E}) = \hat{\sigma} \cdot \vec{E}$$

$$\hat{\sigma} = \frac{\epsilon_0 \omega_{pe}^2}{\omega(1 - \omega_{pj}^2/\omega^2)} \begin{pmatrix} 1 & \frac{\omega_{cj}}{\omega} & -\frac{\omega_{cx}}{\omega} \\ -\frac{\omega_{cj}}{\omega} & 1 & \frac{\omega_{cx}}{\omega} \\ \frac{\omega_{cx}}{\omega} & -\frac{\omega_{cj}}{\omega} & 1 \end{pmatrix}$$

$$\therefore B_r \gg B_p$$

上式中已忽略如下项

$$\omega_c^2 = \omega_{cx}^2 + \omega_{cy}^2 + \omega_{cz}^2 \approx \omega_{cy}^2$$

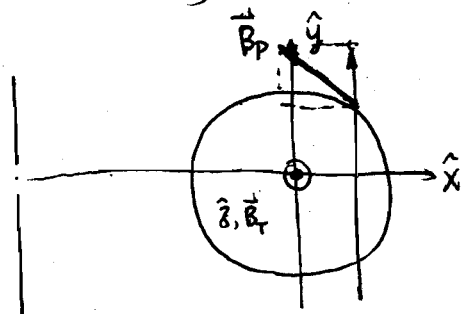
$$\omega^2 \gg \omega_c^2$$

2. 剪切场: J. Appl. Phys. 52 (1981), 6572

在剪切场中传播时, 即使初始是寻常波, 在等离子体中传播时, 其偏振态会发生复杂的变化, 剪切场会产生 X, L, R 波分量, 从而使其合成波通常是非圆偏振波, 且偏振波的主轴将在传播过程中将发生旋转, 即旋光效应。下节我们将以托卡马克位形为例, 详细计算初始线偏振波在传播过程中, 其偏振态是如何变化的。

为简单起见, 我们假设:

- (1)  $\omega^2 \gg \omega_{pe}^2, \omega_{ce}^2$
- (2) 冷等离子体近似
- (3) 等离子体是轴对称的
- (4) WKB 近似成立
- (5) 对折射率计算较小, 但不可忽略



取如右图所示的坐标系, 等离子体中电磁波的波动方程为:

$$\nabla \times (\nabla \times \vec{E}) + \mu_0 \vec{\sigma} \frac{\partial \vec{E}}{\partial t} + \mu_0 \epsilon_0 \frac{\partial^2 \vec{E}}{\partial t^2} = 0$$

其中  $\vec{\sigma}$  为等离子体电导率张量, 它可由电子运动方程解得:

$$m_e \frac{d\vec{v}}{dt} = -e(\vec{E} + \vec{v} \times \vec{B}_0) \quad \vec{B}_0 = (B_{p1}, B_{p1}, B_T)$$

它可表示为:

$$\vec{\sigma} = \frac{\epsilon_0 \omega_{pe}^2}{\omega(1 - \omega_{ce}^2/\omega^2)} \begin{pmatrix} i & \omega_{ce}/\omega & -\omega_{ce}/\omega \\ -\omega_{ce}/\omega & i & \omega_{ce}/\omega \\ \omega_{ce}/\omega & -\omega_{ce}/\omega & i \end{pmatrix}$$

上式中已利用了如下近似:

$$\omega_c^2 = \omega_{ce}^2 + \omega_{ci}^2 + \omega_{cj}^2 \approx \omega_{ce}^2 \quad (\because B_T \gg B_p)$$

$$\text{且} \quad \omega^2 \gg \omega_c^2$$

假定上述波动方程中  $\vec{E}$  的每个分量都有如下形式的解

$$E_j(y) = A_j(y) \exp[i(\phi_j(y) - \omega t)] \quad j=x, y, z$$

其中  $A_j(y)$  是实函数， $\phi_j(y)$  是实函数，在特定的垂直弦线上（已知弦长  $x$ ），它只与  $y$  的坐标有关。将它代入波动方程中，由此导出  $A_j(y)$  和  $\phi_j(y)$  满足的常微分方程，它们的解是：

$$A_x(y) = A_{x0} + A_{z0} \int_y dy \left(1 + \frac{\omega_{pe}^2}{\omega^2}\right) \frac{\omega_{pe}^2 \omega_y}{2c\omega^2}$$

$$A_z(y) = A_{z0} - A_{x0} \int_y dy \left(1 + \frac{\omega_{pe}^2}{\omega^2}\right) \frac{\omega_{pe}^2 \omega_y}{2c\omega^2}$$

$$\phi_x(y) = \frac{\omega}{c} \int_y dy \left[1 - \frac{\omega_{pe}^2}{2\omega^2} - \frac{\omega_{pe}^2 \omega_y^2}{2\omega^4}\right] \quad \frac{\omega}{c} \int \mu_x dy$$

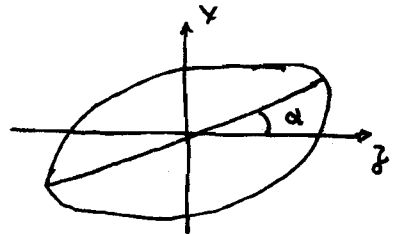
$$\phi_z(y) = \frac{\omega}{c} \int_y dy \left[1 - \frac{\omega_{pe}^2}{2\omega^2}\right] \quad \frac{\omega}{c} \int \mu_0 dy$$

由此可知，初始线偏振波（O波或X波），通过具有磁场的等离子体层，其幅度和相位均发生变化，它们合成波一般为椭圆偏振波，且其主轴将相对于初始偏振方向发生旋转，其旋转角可由熟知的椭圆偏振光的公式求得（M. 波恩，E. 沃耳夫著，光学原理，上册 p. 43~46）：

$$\tan(2\alpha) = \tan(2\psi) \cos \Delta\phi$$

其中 
$$\psi \equiv \tan^{-1} \left[ \frac{A_x(y)}{A_z(y)} \right]$$

$$\Delta\phi = \phi_z(y) - \phi_x(y)$$



= (34) p. 18

$$E_x = a_1 \cos(\tau + \delta_1)$$

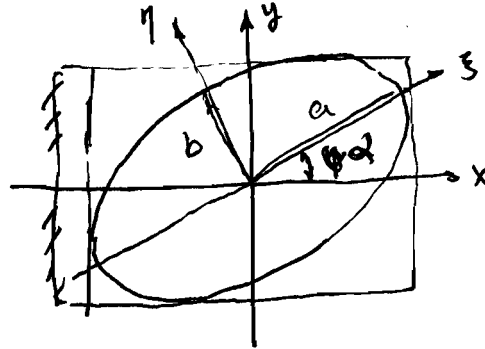
$$\tau = \omega t$$

$$E_y = a_2 \cos(\tau + \delta_2)$$

由此可得:

$$\left(\frac{E_x}{a_1}\right)^2 + \left(\frac{E_y}{a_2}\right)^2 - 2 \frac{E_x}{a_1} \frac{E_y}{a_2} \cos \delta = \sin^2 \delta$$

$$\delta = \delta_2 - \delta_1$$



$\delta = 0, \pi$  线偏振

$\delta = \frac{\pi}{2}, a_1 = a_2$

圆偏振

这是椭圆方程，这是一个椭圆。

它也可以用  $\xi - \eta$  坐标来描述

$$\begin{cases} E_\xi = a \cos(\tau + \delta_0) \\ E_\eta = \pm b \sin(\tau + \delta_0) \\ \pm ab = a_1 a_2 \sin \delta_0 \end{cases} \quad (\pm \text{表示旋转方向})$$

由此可得:

$$\tan \psi \equiv \frac{a_2}{a_1} \quad 0 \leq \psi \leq \frac{\pi}{2}$$

$$a^2 + b^2 = a_1^2 + a_2^2$$

$$\tan(2\alpha)$$

$$\tan 2\alpha = \tan 2\psi \cos \delta$$

$$\sin 2\alpha = \sin 2\psi \sin \delta$$

即

$$\tan \alpha \equiv \pm \frac{b}{a} \quad -\frac{\pi}{4} \leq \alpha \leq \frac{\pi}{4}$$

↑  
椭圆半轴

当  $\psi \ll 1$  及  $\alpha \ll 1$  时 (通过适当选择  $\omega$ , 通常能满足), 上式近似为:

$$\alpha \approx \psi \cos \Delta\phi = \psi \left[ 1 - \frac{(\Delta\phi)^2}{2} \right]$$

若初始偏振为寻常波, 即  $A_{y0} \neq 0$ ,  $A_{x0} = 0$ , 则椭圆偏振主轴转过角度为:

$$\alpha \approx \left[ 1 - \frac{(\Delta\phi)^2}{2} \right] \int_y dy \left( 1 + \frac{\omega_{ct}^2}{\omega^2} \right) \frac{\omega_{pe}^2 \omega_{ch}^2}{2\omega^2 c}$$

$$\Delta\phi = \frac{\omega}{c} \int dy \frac{\omega_{pe}^2 \omega_{ch}^2}{2\omega^4} - \frac{\omega_{pe}^2 \omega_{ch}^2}{2\omega^4}$$

将各物理常数代入上式, 可得:

$$\alpha = 2.63 \times 10^{-25} \lambda^2 [\mu\text{m}] \left( 1 - \frac{(\Delta\phi)^2}{2} \right) \int_y (1 + 0.87 \times 10^{-8} \lambda^2 [\mu\text{m}] B_T^2) n_e B_{p1} dy$$

$$\Delta\phi = 2.46 \times 10^{-29} \lambda^3 [\mu\text{m}] \int_y n_e B_T^2 dy$$

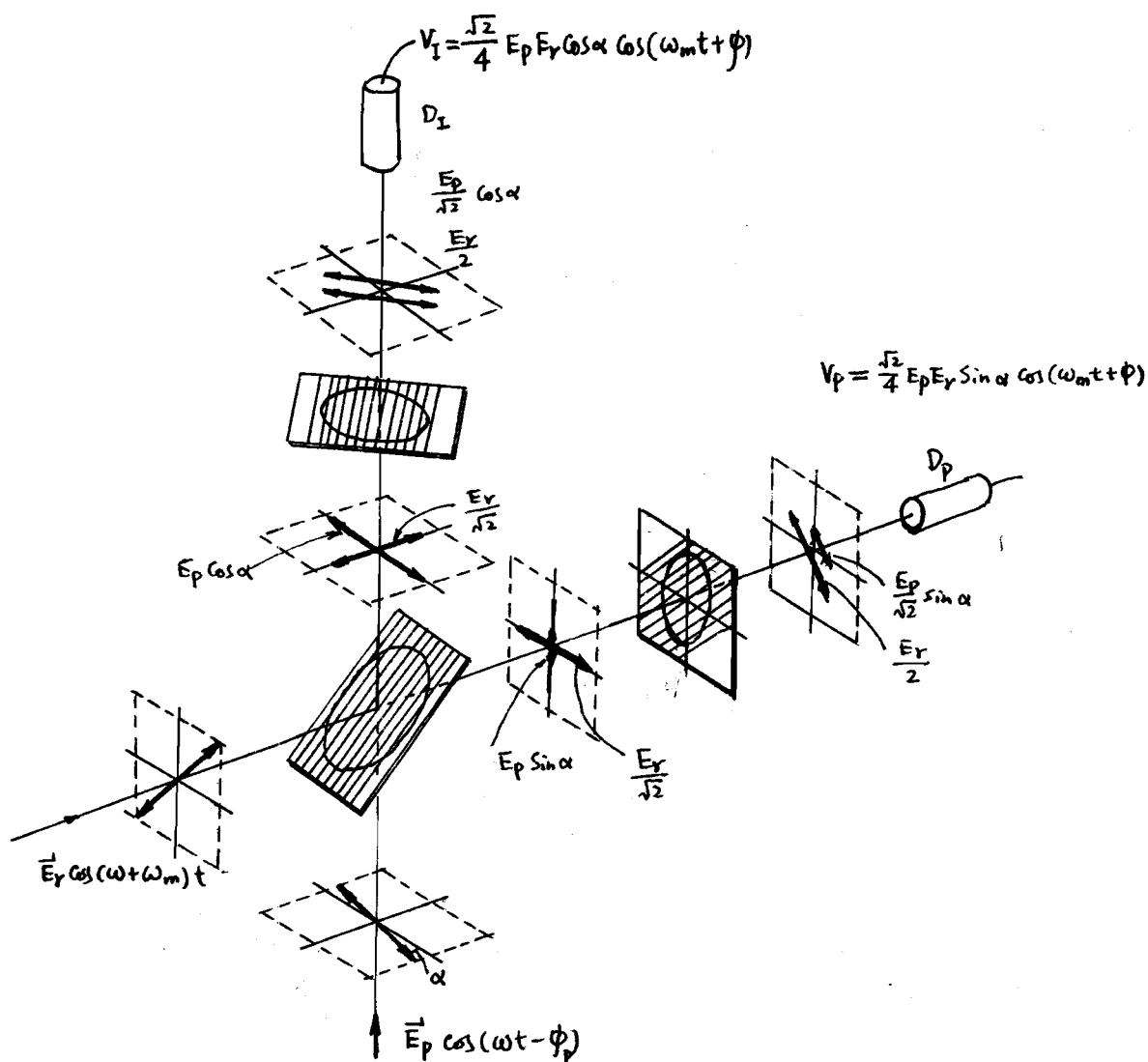
至此,  $\Delta\phi$  是双折射效应引起的相位差, 它与探针束的波长  $\lambda^3$  成正比, 又有当入波较短时, 才能保证  $\Delta\phi \ll 1$ , 双折射效应随传播距离角的影响才可忽略。

## 二. 法拉第旋转角的测量

因为  $\alpha$  与  $B_{p1} n_e$  成正比或成比例, 因此通常都是利用同一支路同时进行的干涉和偏振测量, 以便方便获得  $B$  和  $n_e$  的数据。

### 1. 折偏法

这里指偏振测量是最简单的方法, 之用折偏法测量偏振旋转角度的原理, 因法拉第效应与转角成正比或成比例, 但这里需要知道测量灵敏度最低。若把  $\alpha$  的测量精度, 若要用正交折偏法, 它与转角  $\sin \alpha$  成正比。这里是小转角情况下测量灵敏度最高。



它与干涉仪的主要区别是：将一对对偏振方向灵敏的<sup>分束器</sup>晶体代替干涉仪中最后的分束器（它与偏振方向不灵敏），通过它依法拉第旋转后的探测束分解成两个偏振分量，它们的偏振方向分别平行、垂直于初始的偏振方向，然后对这两个偏振分量分别进行探测。

在例子中，对偏振方向灵敏的分束器是用线栅做成的。在微波和远红外波段，线栅可用做折偏器。这是利用线栅对入射电磁波响应的特点：即当线栅足够窄时，电矢量平行于线方向的电磁波入射到线栅上，它将被完全反射；而入射电磁波偏振方向与线方向垂直时，它将被完全透射。这样，利用它就可以把偏振方向相互垂直的两个分量分离开。

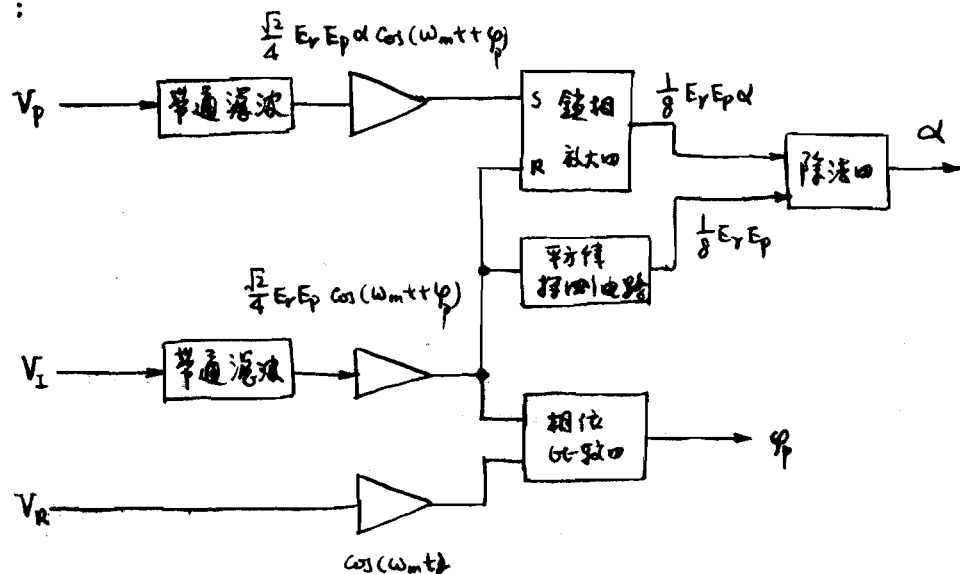
由上面的光路安排和栅镜折偏的特点, 就可以计算出两探测回路的交流信号分别为:

$$V_I = \frac{\sqrt{2}}{4} E_p E_r \cos \alpha \cos(\omega_m t + \phi)$$

$$V_p = \frac{\sqrt{2}}{4} E_p E_r \sin \alpha \cos(\omega_m t + \phi)$$

这里  $\alpha$ 、 $\phi$  分别为法拉第转角和等离体相移。

由上式可见, 当  $\alpha \ll 1$  时,  $V_p$  是与  $\alpha$  成正比的, 只要能够精确地测量信号的幅度, 就可以测量法拉第转角  $\alpha$ 。此外, 由于  $V_p$  和  $V_I$  有相同的相位关系, 因而可以利用  $V_I$  做参考信号, 而用锁相放大器精确地测量  $V_p$  的幅度  $\frac{\sqrt{2}}{4} E_p E_r \alpha$ , 这是因为锁相放大器的输出信号是与  $V_p \cdot V_{I0} = \frac{1}{8} (E_p E_r)^2 \alpha$  成正比的。锁相放大器的输出幅度与  $\alpha$  的关系, 可用位于探测束光路上的  $\frac{\pi}{2}$  波片来标定。当没有等离体时, 使  $\frac{\pi}{2}$  波片转过已知的角度, 测量这时锁相放大器的输出电压, 它应与转角  $\alpha$  相等。但这样测得的  $\alpha$  角的精度要受波片厚度变化的影响。为消除波片的变化对  $\alpha$  测量的影响, 可用  $V_I$  的输出信号幅度归一。其信号处理的框图如下:



由上框图可知, 等离体相移可用常规的方法同时地被测量。



$\frac{\lambda}{4}$  波片

入射光

$\frac{\lambda}{4}$  波片光轴方位

出射光

线偏振

$\vec{e}, \vec{O} \parallel \vec{E}$

线偏振

$\angle \vec{O}, \vec{E} = 45^\circ$

圆偏振

圆偏振

任意

线偏振

椭圆偏振

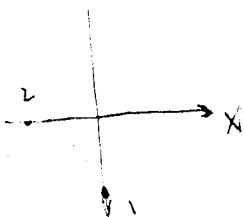
$\vec{e}, \vec{O}$  与椭圆主轴平行

线偏振

任意位置

椭圆偏振

$\frac{\lambda}{2}$  波片



入射光

$\vec{E}$  与  $\vec{O}$  夹角  $\theta$

出射光

线偏振

$\theta$

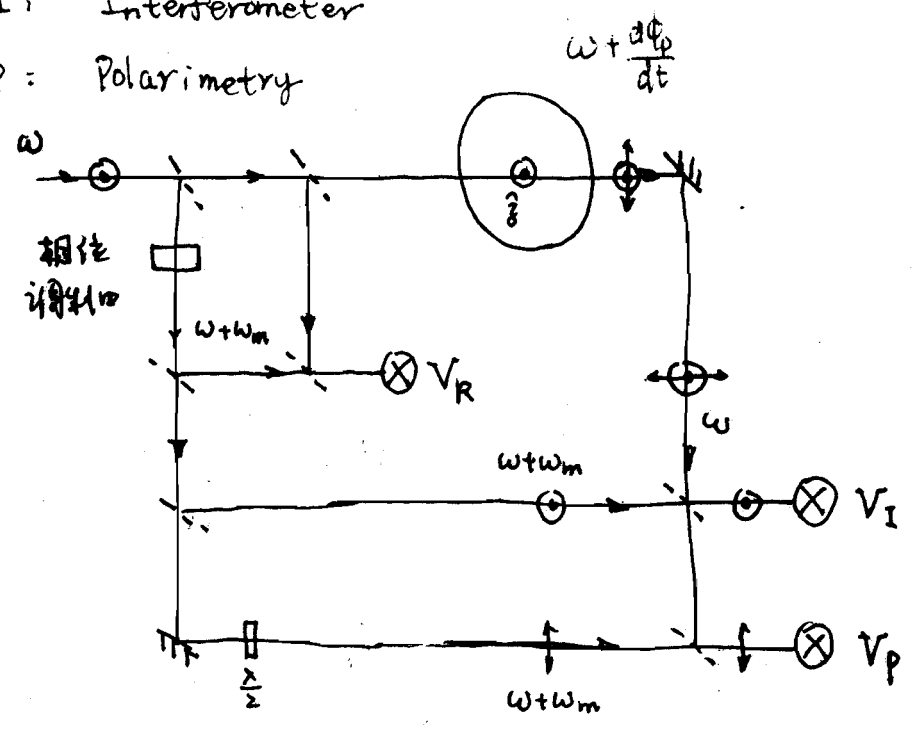
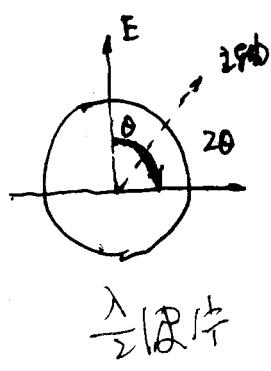
线偏振

偏振方向转过

$2\theta$  角

I: Interferometer

P: Polarimetry



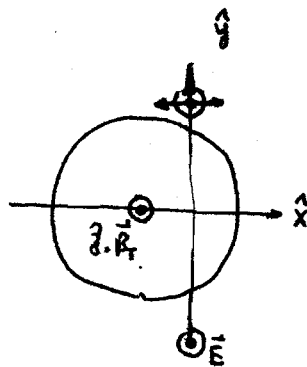
$$V_R = A_R \cos(\omega + \omega_m)t$$

$$V_I = A_I \cos \alpha \cos(\omega_m t + \phi_p)$$

$$V_P = A_P \sin \alpha \cos(\omega_m t + \phi_p)$$

设入射波是线偏振波, 0 波:

$$\begin{cases} E_y(0) = a \cos \omega t \\ E_x(0) = 0 \end{cases}$$



它可以分解为左、右旋波, 即:

$$\vec{E}(0) = \vec{E}_r(0) + \vec{E}_z(0)$$

$$\text{其中} \begin{cases} E_{rz}(0) = \frac{a}{2} \cos \omega t \\ E_{rx}(0) = \frac{a}{2} \sin \omega t \end{cases} \quad \begin{cases} E_{rz}(0) = \frac{a}{2} \cos \omega t \\ E_{rx}(0) = -\frac{a}{2} \sin \omega t \end{cases}$$

通过等效媒质后, 它们的相移分别为  $\phi_r, \phi_z$ , 即:

$$\begin{aligned} E_{rz}(L) &= \frac{a}{2} \cos(\omega t - \phi_r) & E_{rz}(L) &= \frac{a}{2} \cos(\omega t - \phi_z) \\ E_{rx}(L) &= \frac{a}{2} \sin(\omega t - \phi_r') & E_{rx}(L) &= -\frac{a}{2} \sin(\omega t - \phi_z') \end{aligned}$$

其中  $\phi_z', \phi_r'$  分别为右、左旋波的相移, 这与  $\phi_z, \phi_r$  略有差别。当  $\frac{\omega_{pe}^2}{\omega^2} \ll 1$  时, 它们的差别可忽略 (即  $\Delta\mu = \mu_0 - \mu_x \ll 1$ )。它们的合成波为:

$$\begin{cases} E_z(L) = a \cos\left(\frac{\phi_z - \phi_r}{2}\right) \cos\left(\omega t - \frac{\phi_z + \phi_r}{2}\right) \\ E_x(L) = +a \sin\left(\frac{\phi_z - \phi_r}{2}\right) \cos\left(\omega t - \frac{\phi_z + \phi_r}{2}\right) \end{cases}$$

$$\text{因为} \quad \phi_z - \phi_r \approx 2\alpha \Rightarrow \int \frac{\omega_{pe}^2 \omega_{pr}}{\omega^2 c} dx, \quad \phi_z + \phi_r = 2\phi_p = 2 \operatorname{Re} \lambda \int n dx$$

$$\therefore E_z(L) = a \cos \alpha \cos(\omega t - \phi_p)$$

$$E_x(L) = a \sin \alpha \cos(\omega t - \phi_p)$$

$$\text{干涉仪:} \quad E_{Rz} = b \cos(\omega + \omega_m)t, \quad E_{Rx} = 0$$

$$V_I \propto ab \cos \alpha \cos(\omega_m t + \phi_p)$$

$$\text{偏振仪:} \quad E_{Rz} = 0, \quad E_{Rx} = b \cos(\omega + \omega_m)t$$

$$V_p \propto ab \sin \alpha \cos(\omega_m t + \phi_p)$$

由于谐波信号  $V_i \propto ab \cos \alpha \cos(\omega_m t + \phi_p)$  与  $V_R \propto ab \cos \omega_m t$  的相位比较, 可得该器件产生相移:

$$\phi_p = re \lambda \int n_e dl$$

另一方面, 由于谐波和偏振信号幅度比

$$R = \frac{V_p}{V_i} = \tan \alpha \approx \alpha \quad (\text{当 } \alpha \ll 1 \text{ 时})$$

可得该器件转角

$$\alpha = \int_0^L \frac{\omega_p^2 \omega_c}{2 \omega^2 c} dy = 2.63 \times 10^{-5} \lambda^2 [\mu m] \int_0^L n_e B_{ph} dy$$

## 2. 偏振调制法- (P. 122, 图 4.23)

半波片的作用: 当入射线偏振波的电矢量与光轴的夹角为  $\pm \frac{\pi}{2}$  时, 其输出变为圆偏振光, 且旋转方向相反。

设入射波为左、右旋波, 且角频率分别为  $\omega$  和  $\omega + \omega_m$ , 即

$$Z_L = a \cos \omega t$$

$$X_L = -a \sin \omega t$$

$$Z_R = a \cos(\omega + \omega_m)t$$

$$X_R = a \sin(\omega + \omega_m)t$$

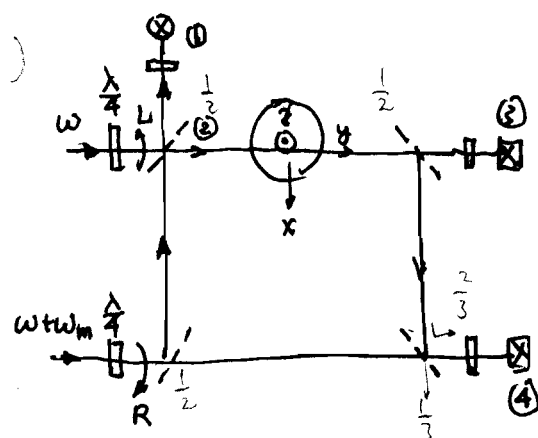
在 ①、② 处电场相同, 即:

$$Z_{1L} = \frac{\sqrt{2}}{2} a \cos \omega t$$

$$X_{1L} = -\frac{\sqrt{2}}{2} a \cos \omega t$$

$$Z_{2R} = \frac{\sqrt{2}}{2} a \cos(\omega + \omega_m)t$$

$$X_{2R} = \frac{\sqrt{2}}{2} a \cos(\omega + \omega_m)t$$



它们的合成波为

$$Z_{1,2} = \sqrt{2} a \cos(\frac{1}{2}\omega_m t) \cos(\omega + \frac{1}{2}\omega_m)t$$

$$X_{1,2} = \sqrt{2} a \sin(\frac{1}{2}\omega_m t) \cos(\omega + \frac{1}{2}\omega_m)t$$

它们是振幅为  $\frac{1}{2}\omega_m$  的角频率为  $\omega_m$  的线性调频波。在①处 Z 分量的干涉信号为：

$$V_{12} \propto \cos \omega_m t$$

通过平衡对射片，在③处的波电场为：

$$Z_{3L} = \frac{\sqrt{2}}{2} a \cos(\omega t - \phi_L)$$

$$Z_{3R} = \frac{\sqrt{2}}{2} a \cos[(\omega + \omega_m)t - \phi_R]$$

$$X_{3L} = -\frac{\sqrt{2}}{2} a \sin(\omega t - \phi_L)$$

$$X_{3R} = \frac{\sqrt{2}}{2} a \sin[(\omega + \omega_m)t - \phi_R]$$

它们的 Z 分量的干涉信号为

$$V_{32} \propto \cos(\omega_m t + 2\alpha) \quad \frac{1}{4} a^2 \cos(\omega_m t + 2\alpha)$$

在④处的波电场为：

$$\begin{cases} Z_{4L} = \frac{\sqrt{2}}{2} a \cos(\omega t - \phi_L) \\ X_{4L} = -\frac{\sqrt{2}}{2} a \sin(\omega t - \phi_L) \end{cases}$$

$$\begin{cases} Z_{4R} = \frac{\sqrt{2}}{2} a \cos[(\omega + \omega_m)t - \phi_R] + \frac{\sqrt{2}}{2} a \cos(\omega + \omega_m)t \\ X_{4R} = \frac{\sqrt{2}}{2} a \sin[(\omega + \omega_m)t - \phi_R] + \frac{\sqrt{2}}{2} a \sin(\omega + \omega_m)t \end{cases}$$

它们的 Z 分量的干涉信号为：

$$V_{42} \propto \cos(\omega_m t + 2\alpha) + \cos(\omega_m t + \phi_L)$$

$$\propto \cos \frac{\phi_L}{2} \cos(\omega_m t + \alpha + \frac{\phi_L}{2})$$

由此得:

$$\left( \alpha + \frac{\phi_e}{2} \right) \begin{cases} V_{1z} = A_1 \cos \omega_m t \\ V_{3z} = A_3 \cos (\omega_m t + 2\alpha) \\ V_{4z} = A_4 \cos (\omega_m t + \alpha + \frac{\phi_e}{2}) \end{cases} \quad 2\alpha$$

 $V_{1z}, V_{3z}$  相位差得:

$$2\alpha \equiv \phi_e - \phi_r = a \quad \Rightarrow \quad \alpha = \frac{a}{2}$$

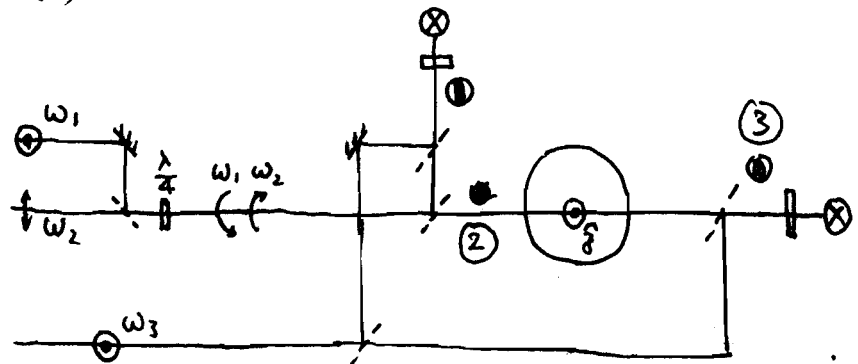
 $V_{1z}, V_{4z}$  相位差得:

$$\alpha + \frac{\phi_e}{2} = \phi_e - \frac{\phi_r}{2} = b$$

由此得:

$$\phi_p \equiv \frac{\phi_e + \phi_r}{2} = 2b - \frac{3}{2}a$$

## 3. 偏振调法(2)



标频率:

1. 角频率  $\omega_1$ , 右旋波2. "  $\omega_2$ , 左旋波3. "  $\omega_3$ , 线偏振波  $\vec{E} \parallel \hat{x} \parallel \vec{B}_r$ 

② 此波电场为:  $\begin{cases} E_{1r} = a \cos \omega_1 t \\ E_{1i} = a \sin \omega_1 t \end{cases}$

$$\begin{cases} E_{2r} = a \cos \omega_2 t \\ E_{2i} = -a \sin \omega_2 t \end{cases}$$

通过等量电体后在③处的波电场为:

$$Z_{3r} = a \cos(\omega_1 t - \phi_r) \quad Z_{3l} = a \cos(\omega_1 t - \phi_l)$$

$$Z_{3r} = a \sin(\omega_1 t - \phi_r) \quad Z_{3l} = -a \sin(\omega_1 t - \phi_l)$$

本振波电场为:

$$Z_{l0} = b \cos \omega_3 t$$

将偏置电压 \$Z\$ 分量, 将测出的信号与干涉信号为:

$$V_s = a^2 \cos[(\omega_1 - \omega_2)t + 2\alpha] \quad (V_{s1})$$

$$+ ab \cos[(\omega_1 - \omega_3)t - \phi_r] \quad (V_{s2})$$

$$+ ab \cos[(\omega_2 - \omega_3)t - \phi_l] \quad (V_{s3})$$

在④处, 干涉干涉信号波电场为:

$$Z_{4r} = a \cos \omega_1 t \quad Z_{4l} = a \cos \omega_2 t \quad Z_{l0} = b \cos \omega_3 t$$

$$Z_{4r} = a \sin \omega_1 t \quad Z_{4l} = -a \sin \omega_2 t$$

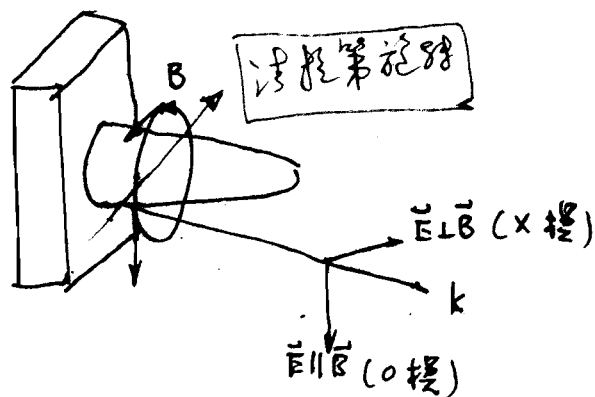
将偏置电压 \$Z\$ 分量, 将测出的信号与干涉信号为:

$$V_R = a^2 \cos(\omega_1 - \omega_2)t \quad (V_{R1})$$

$$+ ab \cos(\omega_1 - \omega_3)t \quad (V_{R2})$$

$$+ ab \cos(\omega_2 - \omega_3)t \quad (V_{R3})$$

2) \$V\_{s1}(\cos[(\omega\_1 - \omega\_2)t + 2\alpha])\$ 与 \$V\_{R1}(\cos[(\omega\_1 - \omega\_2)t])\$ 间的相位比较, 可得 \$2\alpha\$。同理, \$V\_{s2}\$ 与 \$V\_{R2}\$ 间的相位比较可得 \$\phi\_r\$, \$V\_{s3}\$ 与 \$V\_{R3}\$ 间的相位比较, 可得 \$\phi\_l\$。由 \$\phi\_r\$ 和 \$\phi\_l\$ 可求得 \$\phi\_p = (\phi\_r + \phi\_l)/2\$ 可求得 \$\phi\_p\$。

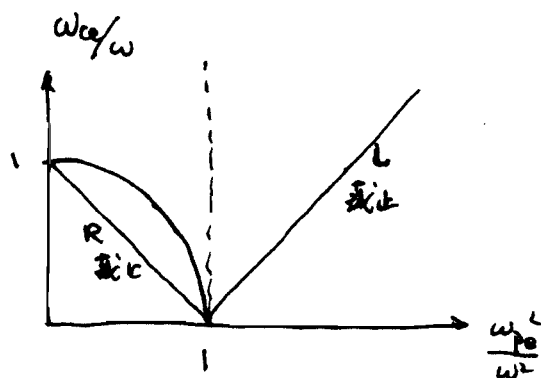


### 1. 双折射. 椭圆率

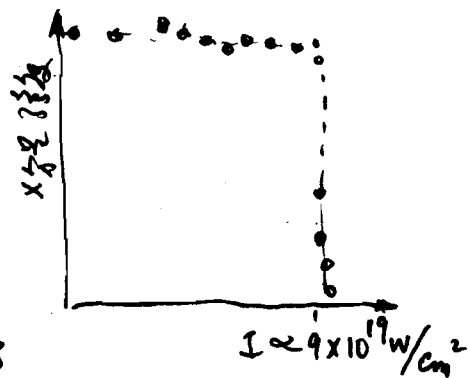
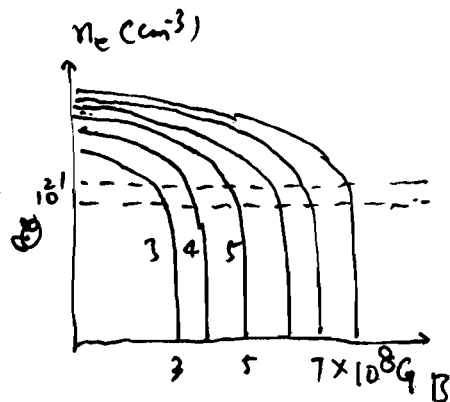
$$\frac{b}{a} = 2.49 \times 10^{-21} \lambda_{\mu m}^3 \int n_e [\mu m] B^2 [MG] dl [\mu m]$$

### 2. X 模截止

$$\omega_c = \frac{\omega_{pe}}{2} + \sqrt{\frac{\omega_{pe}^2}{4} + \omega_{pe}^2}$$



### 3. 波粒第磁路





▲ 激光等离子体中磁场的产生

physics of Plasmas 9 (2002), 2244

Plasma phys. Control. Fusion 44 (2002), B233

physical Review E70 (2004), 026401

磁场的产生机制

1. 不均匀的密度和速度梯度  $\frac{\partial \vec{B}}{\partial t} = \frac{1}{en_e} \nabla(kT_e) \times \nabla n_e$

2. 激光脉冲本身的衍射效应

3. 热电子电流

利用激光-等离子体相互作用中产生的高频波作探针

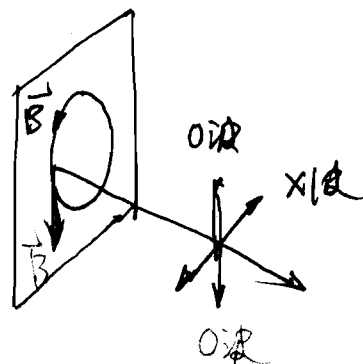
1. 这些谐波在临界密度附近产生，方向同时传播

2. 传播方向与入射激光的传播方向相同。

3. 传播时间与磁场的产生时间相同

4. 传播方向  $\vec{k} \perp \vec{B}$

1. 利用 X 波或 O 波探测



we found a positive relationship between male display intensity and startle rate ( $\beta_{\text{startle}} = -0.92$ ,  $P < 0.001$ ;  $\beta_{\text{intensity}} = 0.51$ ,  $P < 0.028$ ;  $r^2 = 0.68$ ,  $F_{2,10} = 10.71$ ,  $P < 0.003$ ).

We predicted that the most successful males would be those who produce high-intensity displays without startling females. Indeed, we found a positive correlation between male display intensity in robot courtships and male success in natural courtships (Fig. 2c), and a negative relationship between startle rate and male courtship success (Fig. 2d), with both factors contributing to male courtship success when considered together ( $\beta_{\text{intensity}} = 0.55$ ,  $P < 0.004$ ;  $\beta_{\text{startle}} = -0.57$ ,  $P < 0.003$ ;  $r^2 = 0.65$ ,  $F_{2,14} = 13.23$ ,  $P < 0.0006$ ).

Our results indicate that although female satin bowerbirds prefer intensely displaying males, successful males do not always display at maximum intensity — instead, they modulate the intensity of their display in response to female signals, to remain attractive without threatening the females. In satin bowerbirds — and perhaps in other species in which variation in sexually selected traits

has not yet been examined in detail — male courtship success may depend on both an attractive display and the intrinsic ability to modify these in response to female signals.

Gail L. Patricelli\*, J. Albert C. Uy†, Gregory Walsh‡, Gerald Borgia\*

Departments of \*Biology and ‡Mechanical Engineering, University of Maryland, College Park, Maryland 20742, USA

e-mail: borgia@umail.umd.edu

†Present address: Department of Ecology, Evolution and Marine Biology, University of California, Santa Barbara, California 93106, USA

1. Andersson, M. *Sexual Selection* (Princeton Univ. Press, Princeton, New Jersey, 1994).
2. Borgia, G. & Presgraves, D. C. *Anim. Behav.* **56**, 1121–1128 (1998).
3. Borgia, G. *Am. Sci.* **83**, 542–548 (1995).
4. Berglund, A., Bisazza, A. & Pilastro, A. *Biol. J. Linn. Soc.* **58**, 385–389 (1996).
5. Borgia, G. in *Sexual Selection and Reproductive Competition in Insects* (eds Blum, M. S. & Blum, N. A.) 27–49 (Academic, New York, 1979).
6. Mateos, C. & Carranza, M. *Behav. Ecol. Sociobiol.* **45**, 235–244 (1999).
7. Borgia, G. *Emu* **95**, 1–12 (1995).
8. Uy, J. A. C., Patricelli, G. L. & Borgia, G. *Proc. R. Soc. Lond. B* **267**, 251–256 (2000).
9. Borgia, G. *Anim. Behav.* **33**, 266–271 (1985).

# Laser technology

## Measuring huge magnetic fields

Huge magnetic fields are predicted<sup>1–4</sup> to exist in the high-density region of plasmas produced during intense laser-matter interaction, near the critical-density surface where most laser absorption occurs, but until now these fields have never been measured. By using pulses focused to extreme intensities to investigate laser-plasma interactions<sup>5</sup>, we have been able to record the highest magnetic fields ever produced in a laboratory — over 340 megagauss — by polarimetry measurements of self-generated laser harmonics.

Because harmonics of the laser are generated at the critical-density surface and subsequently propagate isotropically out of the

dense region<sup>6</sup>, we have found that measuring the final polarization of these harmonics is a powerful way to find out the magnitude of the magnetic fields through which they travel. The use of self-generated laser harmonics is particularly convenient because these are produced at precisely the same time as the magnetic fields are generated and propagate so that their **k** vectors are perpendicular to azimuthal magnetic fields in the plasma — which greatly simplifies data interpretation. In our experiments, we use the propagation properties of lower-order harmonics (that is, the third, fourth and fifth harmonics).

These results were obtained with the Vulcan laser system (wavelength 1.054  $\mu\text{m}$ , pulse energy up to 90 J, pulse duration about 1 picosecond). The beam was *p*-polarized and focused to a maximum intensity of  $9 \times 10^{19} \text{ W cm}^{-2}$  onto a thin solid target (0.1–1.0 mm). The polarization com-

ponents of the emitted laser harmonics were measured by using high-dynamic-range, charge-coupled-device arrays as detectors.

When an electromagnetic wave propagates in a magnetized plasma with its **k** vector perpendicular to **B**, the extraordinary wave (*x*-wave; that is, with an electric field vector perpendicular to the magnetic field) can experience cut-offs and resonances (Fig. 1a). Cut-offs occur when the plasma index of refraction is equal to zero, and resonances when the index approaches infinity. The *x*-wave is reflected when it encounters a cut-off and is absorbed in a resonance. For example, the cut-offs for the fifth, fourth and third harmonics occur at 460, 340 and 220 megagauss, respectively, for a density of  $n_e = 2.4 \times 10^{21} \text{ cm}^{-3}$  (the relativistically corrected critical density). Resonances occur at higher magnetic fields than cut-offs. The ordinary (*o*) wave (with **E** parallel to **B**) is unaffected by the magnetic field — implying that if a field larger than the cut-off field exists in the plasma, then only the ordinary wave is able to propagate to the detector and therefore is the only one observable.

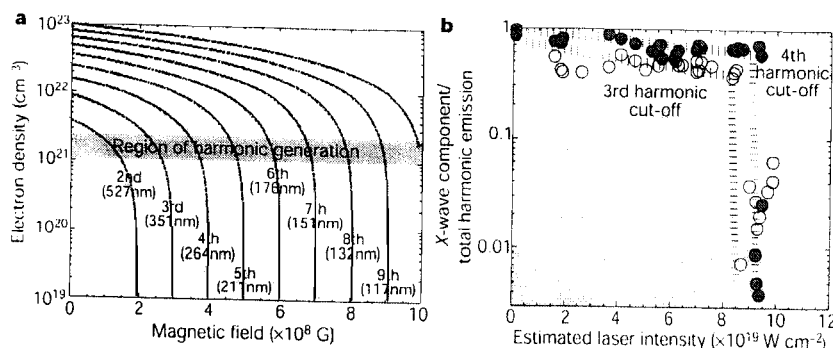
This is what we find for the highest-intensity shots. Figure 1b shows the ratio of *p*-component (*x*-wave) to total emission (*x*-wave plus *o*-wave) for both the third and fourth harmonics for various incident laser intensities. At high intensities, the *x*-wave cut-offs are definitely observed, implying the existence of a minimum magnetic field of 340 megagauss in the plasma; no cut-offs were seen for the fifth harmonic. This indicates that the peak magnetic field is below 460 and above 340 megagauss at intensities of about  $9 \times 10^{19} \text{ W cm}^{-2}$ . Such fields are more than an order of magnitude larger than any previously observed in the laboratory<sup>7–9</sup>. These cut-offs were consistently reproducible in our experiments — but only at the highest laser intensities.

The magnitude of the magnetic fields generated in this way could soon approach those needed for testing astrophysical models of neutron stars and white dwarfs<sup>10</sup>. M. Tatarakis\*, I. Watts\*, F. N. Beg\*, E. L. Clark\*, A. E. Dangor\*, A. Gopal\*, M. G. Haines\*, P. A. Norreys†, U. Wagner†, M.-S. Wei\*, M. Zepf\*, K. Krushelnick\*

\*The Blackett Laboratory, Imperial College of Science, Technology and Medicine, London SW7 2BZ, UK

e-mail: m.tatarakis@ic.ac.uk

†Rutherford Appleton Laboratory, Chilton, Didcot, Oxfordshire OX11 0QX, UK



**Figure 1** Laboratory measurement of magnetic fields greater than 340 megagauss. **a**, Plot of *x*-wave cut-offs for various harmonics (second, third, and so on) of 1.054- $\mu\text{m}$  radiation in terms of plasma electron density and magnetic field. **b**, *X*-wave/total harmonic emission of third harmonic (hollow circles) and fourth harmonic (filled circles) for a series of laser shots.

## 6.2.4 (B 4.4节)

### 阿贝尔(Abel)变换

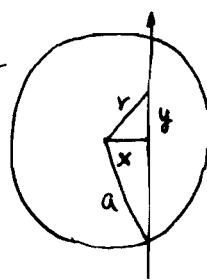
从上一节可以看到,干涉法和偏振法,以及下几章的许多其它的分析方法,都有一个共同的特点,它们测量的都是量子量沿通过等离子的射线或的平均值。关键的问题是:如何从可得到的弦测量导出所感兴趣的物理量的局域值。然而,许多等离子体都具有轴对称的特点,即其物理量在柱坐标中 \$(r, \theta, z)\$ 与角度 \$\theta\$ 轴无关。这就使得我们能够利用 Abel 变换的已知的数学特征,从弦测量导出径向分布的问题。

现在让我们考虑一个轴对称量 \$f(r)\$, 我们得到的测量是弦积分

$$\phi(x) F(x) = \int_{-\sqrt{a^2-x^2}}^{\sqrt{a^2-x^2}} f(r) dy = 2 \int_0^{\sqrt{a^2-x^2}} f(r) dy$$

把积分变量变为 \$r\$, 则

$$F(x) = 2 \int_x^a f(r) \frac{r dr}{\sqrt{r^2-x^2}}$$



这就是熟知的阿贝尔积分方程, 它的解就是我们所需要的量 \$f(r)\$:

$$\text{§4.7} \quad f(r) = -\frac{1}{\pi} \int_r^a \frac{dF}{dx} \frac{dx}{(x^2-r^2)^{1/2}} \quad (\text{只要当 } r \geq a \text{ 时有 } f(r)=0)$$

这样, 我们就有了一个简单公式, 利用它可以从弦积分测量求得径向分布函数 \$f\$。这个过程称之为 Abel 变换。

在实际情况下, 我们只有有限个测量值下的测量值 \$F\$, 因此我们定义积分变换, 就要求我们用某种内插形式。此外, 很显然有限个弦线的测量只能得到有限个 \$f(r)\$ 的信息。因此, 我们必须记住, 如果我们利用内插给出连续函数 \$f(r)\$ 的值, 则对 \$f(r)\$ 变换的许多细节都将与内插方式中即固有的假设有关。

许多作者已对具体实现 Abel 变换的方法做了研究, 且有许多现成的计算机程序可用。这里就不作详细介绍了, 有兴趣的读者可参阅有关文献。

$$\Phi_p = \int \frac{\omega_{pe}^2}{2\omega c} d\mathbf{r} = \epsilon_0 \lambda \int n_e d\mathbf{r}$$

$$\alpha = \int \frac{\omega_{pe}^2 \omega_{UH}}{2\omega^2 c} d\mathbf{r}$$

## § 2.5 反射法

频率为  $f$  的电磁波在高度单调变化(沿波传播方向)的等离子体中传播时,若遇到截止层(即  $n_e = n_c$ ),波将被截止层反射,并沿入射方向传播回去。若测量了反射波,就有办法利用它来测量等离子体高度,这就是所谓反射法。

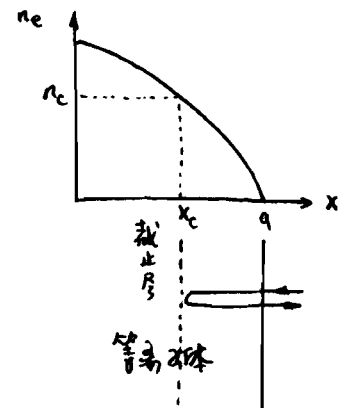
对于电离层等离子体,电子密度早就用反射雷达测量的,其原理就是反射法。雷达发射的一定频率的电磁波,在电离层中传播时,若遇到截止层,即  $f = f_{pe}$  时,波就被反射。反射层的位置就由反射脉冲相对于发射脉冲的时间延迟决定(雷达原理)。这样,通过扫描雷达频率,就测绘出电离层不同高度处的电子密度(当然要求电子密度随高度分布是单调上升的):

$$\begin{cases} n_e(h) = 1.24 \times 10^{-2} f^2 \quad [\text{m}^{-3}] & 1\text{GHz} \quad n_c = 1.24 \times 10^{16} [\text{m}^{-3}] \\ h = c \Delta t / 2 \end{cases}$$

(这里已假定波在电离层中传播距离为  $2h$  电子密度分布的函数)

对于实验室等离子体,反则上讲,也可以用这类反射法测定电子密度分布。所不同的是,由于实验室等离子体尺寸小,及与反射层的距离短,反射信号的时间延迟是限定的(典型的是几 ns),因而测量的不是反射波与入射波间的时间延迟,而是相位差。然而,相位延迟通常也是利用干涉效应测量的,因而反射法实际上也是干涉法。

其实物安排如右所示。电磁波由位于等离子体边界上的天线射入等离子体,并在反射截止层处被反射,并在发射点附近探测该反射波。由此可见,它实际上是迈克尔逊干涉仪的结构,我们测量的是反射波相对于入射波的相位。由于这个相位携带着反射层位置的信息,因而之有办法



直接测量电子密度分布。但它与反射雷达不同,这个相位差不仅与反射点和发射点间的距离有关,而且还与这段距离中的等离子体折射系数有关,这和干涉仪中的情况一样,它会影响相位延迟。因而在推算反射层位置时,中间必须考虑光路上的等离子体折射系数的变化,故从相位延迟求出反射层的位置不是直接了当的。

### 一. 相位延迟的计算:

因为反射波是等离体折射系数远大于1的电磁波在截止层附近的传播, 这时因为  $\mu \rightarrow 0$ ,  $\lambda \rightarrow \infty$ , 几何光学近似不适用, 中运用全波理论求解波动方程。

为简单计, 我们假定: (1) 入射波是寻常波; (2) 波传播是一维的。则在等离体中传播时它满足下述的波动方程:

$$\frac{d^2 E}{dx^2} + \frac{\omega^2}{c^2} \mu^2(\omega, x) E = 0 \quad \epsilon = \left(\frac{ck}{\omega}\right)^2$$

可以证明, 当

$$\frac{\lambda}{2\pi} \left| \frac{d\mu}{dx} \right| \ll 1 \quad \text{或} \quad \frac{|\nabla k|}{k^2} \ll 1, \quad L_n \gg \lambda$$

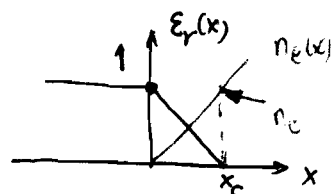
时, 该波动方程有如下形式解:

$$E(x) = E_0(x) e^{i\phi(x)} \quad \phi(x) = \pm \frac{\omega}{c} \int \mu(x) dx$$

这就是干涉和偏振得以应用的基本依据。实际上, 应用时却选择电磁波频率远大于等离体截止频率, 上述条件一般都满足。

当电磁波在截止层附近传播时, 中运用全波理论求解波动方程。一般情况下, 波动方程必须数值求解。只有几种简单情况下才有精确的解析解。这里我们讨论最简单的一种情况, 即假定: 在截止层附近等离体介电常数呈线性变化的, 即:

$$n_e(x) = n_c(\omega) \frac{x}{x_c}$$



其中  $x_c$  为截止层的坐标,  $n_c(\omega)$  为波频率为  $\omega$  时的临界截止密度。

而介电常数为:

$$\frac{d\epsilon_r}{dx} = -\frac{1}{n_c} \frac{dn_c}{dx} = -\frac{1}{x_c}$$

$$\epsilon_r(x) = \mu^2(x) = 1 - \frac{n_e(x)}{n_c} = 1 - \frac{x}{x_c}$$

$$x_c = \left( \frac{1}{n_c} \frac{dn_c}{dx} \right)^{-1}$$

在这种情况下波动方程可改写为:

$$\frac{d^2 E}{dx^2} + \frac{\omega^2}{c^2} (1 - \frac{x}{x_c}) E = 0$$

= ④ ⑦

作如下的变量替换：归一化长度

$$\xi = \left( \frac{\omega^2}{c^2 x_c} \right)^{1/3} (x_c - x) = \left( \frac{\omega}{c} x_c \right)^{2/3} \epsilon_r(x) \begin{cases} > 0, & \text{当 } x < x_c \text{ 时} \\ = 0, & \text{当 } x = x_c \text{ 时} \\ < 0, & \text{当 } x > x_c \text{ 时} \end{cases}$$

则波动方程就变为：

$$\frac{d^2 E}{d\xi^2} + \xi E = 0 \quad \text{Airy 方程}$$

这是个标准的 Airy 方程，它的一般解是 Airy 函数  $Ai(\xi)$  和  $Bi(\xi)$  的线性组合，其待定系数由边界条件定：(1)  $\xi < 0$  时， $E(\xi) \rightarrow 0$ ；(2)  $E(\xi)$  在  $\xi = 0$  处连续；(3)  $\frac{dE}{d\xi}$  在  $\xi = 0$  处连续。此外，也可以利用如下的变量替换：

$$\begin{aligned} E(\xi) &= \sqrt{\xi} G\left(\frac{2}{3} \xi^{3/2}\right) \\ \rho &= \frac{2}{3} \xi^{3/2} \end{aligned} \quad \begin{cases} E(\xi) \equiv \sqrt{\xi} G(\rho) \\ \rho \equiv \frac{2}{3} \xi^{3/2} \end{cases}$$

将 Airy 方程化成如下的 Bessel 方程：

$$\frac{d^2 G}{d\rho^2} + \frac{1}{\rho} \frac{dG}{d\rho} + \left(1 - \frac{1}{9\rho^2}\right) G = 0 \quad \text{Bessel 方程}$$

利用边界条件后，Bessel 方程的解为：

$$E(\xi) = \begin{cases} A \xi^{1/2} \left[ J_{1/3}\left(\frac{2}{3} \xi^{3/2}\right) + J_{-1/3}\left(\frac{2}{3} \xi^{3/2}\right) \right] & \text{当 } \xi > 0 \text{ 时} \\ \frac{\sqrt{3}}{\pi} (-\xi)^{1/2} A K_{1/3}\left[\frac{2}{3} (-\xi)^{3/2}\right] & \xi < 0 \text{ 时} \end{cases}$$

$$I_\nu(z) = i^{-\nu} J_\nu(iz) \quad \text{或} \quad A (-\xi)^{1/2} \left\{ -I_{1/3}\left[\frac{2}{3} (-\xi)^{3/2}\right] + I_{-1/3}\left[\frac{2}{3} (-\xi)^{3/2}\right] \right\} \quad \xi < 0 \text{ 时}$$

由此可见，由于截止层对入射电磁波的反射，使得在  $\xi > 0$  (即  $x < x_c$ ) 处波动方程的解是个驻波解。当  $\xi \gg 1$  时，我们可以利用贝塞尔函数的渐近表达式求得近似的解为：

$$E(\xi) \approx \frac{3A}{\sqrt{\pi}} \xi^{-1/4} \cos\left(\frac{2}{3} \xi^{3/2} - \frac{\pi}{4}\right) \quad \text{当 } \xi \gg 1 \text{ 时}$$

因为

$$x_c = \left| \frac{d\epsilon_r}{dx} \right|^{-1}_{x_c} = \left| \frac{d\epsilon_r}{dn} \right|^{-1}_{n_c}$$

可得上述渐近解适用的条件为:

$$\xi = \left( \frac{\omega}{c} x_c \right)^{2/3} \epsilon_r(x) = \left( \frac{2\pi}{\lambda} \left| \frac{d\epsilon_r}{dx} \right|^{-1} \right)^{2/3} \epsilon_r(x) \gg 1 \Rightarrow \frac{2\pi}{\lambda} \frac{\epsilon_r^{3/2}}{\left| \frac{d\epsilon_r}{dx} \right|} \gg 1$$

这个不等式与几何光学近似成立的条件

$$\frac{\lambda}{2\pi} \frac{\left| \frac{d\mu}{dx} \right|}{\mu^2} \ll 1 \quad \text{或} \quad \frac{|\nabla k|}{k^2} \ll 1 \quad \lambda \ll L_n$$

是等价的, 因为  $\epsilon_r(x) = \mu^2(x)$ 。这样, 渐近解也具有几何光学解相同的形式, 这是因为相位因子为:

$$\begin{aligned} \frac{2}{3} \xi^{3/2} - \frac{\pi}{4} &= \frac{2}{3} \frac{\omega}{c} x_c \epsilon_r^{3/2}(x) - \frac{\pi}{4} = \frac{\omega}{c} \int_x^{x_c} \sqrt{1 - \frac{x}{x_c}} dx - \frac{\pi}{4} \\ &= \frac{\omega}{c} \int_x^{x_c} \mu(x) dx - \frac{\pi}{4} \end{aligned}$$

由此可见, 与几何光学解的相位因子相比, 它只是多了常数项的相位移  $(-\frac{\pi}{4})$ 。这样, 如果入射波是在  $x=0$  处射入介质, 则在该处反射波与入射波的相位移为:

$$\phi = 2 \frac{\omega}{c} \int_0^{x_c} \mu(x) dx - \frac{\pi}{2}$$

这与几何光学解给出的相位移只是  $\frac{\pi}{2}$ 。因为在通常条件下, 有:

$$2 \frac{\omega}{c} \int_0^{x_c} \mu(x) dx \gg \frac{\pi}{2}$$

所以, 其相位移正是很小的。

当截止层附近电子密度分布不是线性函数时 (即任意函数时), 我们可以在该截止层附近, 对分布函数做泰勒级数展开, 只要下述条件满足:

$$\frac{d^2 n_e(x)}{dx^2} \delta x \ll \frac{dn_e(x)}{dx}$$

则截止层附近的电子密度分布仍可用线性函数近似, 这样, 上述渐近解仍适用。因此, 渐近解适用的条件是:

(1) 几何光学近似成立, 即

$$\xi = \left( \frac{\omega}{c} \left| \frac{d\epsilon_r}{dx} \right|^{-1} \right)^{2/3} \epsilon_r(x) = \left( \frac{\omega}{c} \left| \frac{d\epsilon_r}{dx} \right|^{-1} \right)^{2/3} \left| \frac{d\epsilon_r}{dx} \right|_{x_c} (x_c - x) \gg 1$$

近似处, 又取  $\xi = 5$ , 渐近解的误差将小于 1%。这样, 上述渐近解近似地表示为:

$$\delta x \equiv |x_c - x| \geq 5 \left[ \frac{\lambda_0}{2\pi} \left| \frac{d\epsilon_r}{dx} \right|_{x_c}^{-1/2} \right]^{2/3} = 5 \left[ \frac{\lambda_0 L_n}{2\pi} \right]^{2/3}$$

(2)  $\epsilon_r(x)$  的线性近似成立, 即:

$$\left| \frac{d^2 \epsilon_r}{dx^2} \right|_{x_c} \delta x \ll \left| \frac{d\epsilon_r}{dx} \right|_{x_c}$$

将  $\delta x$  的表达式代入上式, 得:

$$\left| \frac{d^2 \epsilon_r}{dx^2} \right|_{x_c} \ll \left| \frac{d\epsilon_r}{dx} \right|_{x_c}^{4/3} k_0^{2/3} / 5 \approx \left| \frac{d\epsilon_r}{dx} \right|_{x_c}^{4/3} \lambda_0^{-2/3}$$

波动方程在  $\epsilon_r$  线性近似条件下的精确解为驻波, 在  $\xi > 0$  处是子波解。而在  $\xi < 0$  处 (即  $x > x_c$ ),  $E(\xi)$  近似为指数衰减, 因此波是在有限厚度范围内反射的。由贝塞尔函数的渐近表达式:

$$K_\nu(z) \propto e^{-|z|}, \quad \text{当 } |z| > 1 \text{ 时}$$

可求得  $E(\xi)$  在衰减到其峰值的  $e^{-1}$  时的特征长度为反射层的等效厚度, 这是反射计的空间取样厚度:

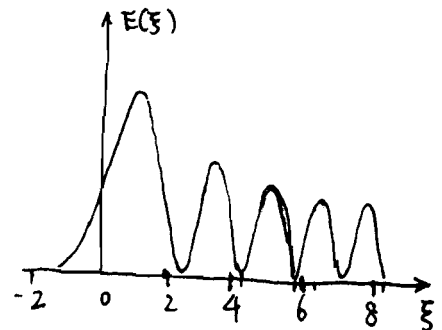
$$|z| = 1, \quad \frac{2}{3} |\xi|^{3/2} = 1$$

即

$$\Delta x \equiv \left( \frac{c^2}{\omega^2} x_c \right)^{1/3} = \left( \frac{\lambda_0^2 L_n}{4\pi^2} \right)^{1/3}$$

∴

$$x_c = \left| \frac{d\epsilon_r}{dx} \right|_{x_c}^{-1} = \left| \frac{1}{n_c} \frac{dn_c}{dx} \right|_{x_c}^{-1}$$





总之,由上述分析可知,当电磁波在介质分界面传播时遇到截止层时,在介质分界面处,反射波与入射波间的相位差可用渐近解表示:

$$\phi(f) = \frac{4\pi f}{c} \int_0^{x_c(f)} \left[ 1 - \frac{f_{pe}^2(x)}{f^2} \right]^{1/2} dx - \frac{\pi}{2}$$

由此可知,单一频率反射波的相位问题,不能直接得到平均密度,因为截止层的位置是未知的,而这正是反射计的不足之处(与干涉法相比)。但是,如果入射波的能量是扫描的,则从不同频率下的相位延迟的测量,就可以推导出反射层路上的电子密度分布。

从相位延迟表达式,我们可以计算群延迟时间

$$\tau(f) \equiv \frac{1}{2\pi} \frac{d\phi(f)}{df} = \frac{2}{c} \int_0^{x_c(f)} \frac{f}{\sqrt{f^2 - f_{pe}^2(x)}} dx$$

将波矢做变量替换:  
 $f = \frac{c}{\lambda}, f_{pe} = \frac{c}{\lambda_p}$

可得  $\frac{1}{2\pi} \frac{d\phi}{df} = 2 \int_1^{\infty} \left( \frac{d\lambda_p}{c d\lambda} \right) \frac{\lambda_p d\lambda_p}{\sqrt{\lambda_p^2 - \lambda^2}}$ , 这就是阿基米德方程

作变量替换:  $u(x) \equiv f_{pe}^2(x), v \equiv f^2$   $F(u) = 2 \int_x^{\infty} f(r) \frac{r dr}{\sqrt{r^2 - u}}$

得:  $v^{-1/2} \tau(\sqrt{v}) = \frac{2}{c} \int_0^{x_c(\sqrt{v})} \frac{dx}{\sqrt{v - u(x)}}$   $f(r) = \frac{1}{\pi} \int_r^{\infty} \frac{dF}{d\lambda} \frac{d\lambda}{\sqrt{\lambda^2 - r^2}}$

上式两边同乘以  $\frac{1}{\pi} \frac{1}{\sqrt{W-v}}$ , 并对  $v < 0$  积分到  $W$ , 得:

$$\frac{1}{\pi} \int_0^W \frac{v^{-1/2} \tau(\sqrt{v})}{\sqrt{W-v}} dv = \frac{2}{\pi c} \int_0^W dv \int_0^{x_c(\sqrt{v})} \frac{dx}{\sqrt{W-v} \sqrt{v-u(x)}}$$

变上式右边的积分顺序,得:

$$\frac{2}{\pi c} \int_0^W dv \int_0^{x_c(\sqrt{v})} \frac{dx}{\sqrt{W-v} \sqrt{v-u(x)}} = \frac{2}{\pi c} \int_0^{x_c(\sqrt{W})} dx \int_u^W \frac{dv}{\sqrt{W-v} \sqrt{v-u(x)}}$$

作变量替换

$$v = W \cos^2 \theta + u \sin^2 \theta$$

上式的积分得:

$$\frac{2}{\pi c} \int_0^{x_c(\sqrt{W})} dx \int_u^W \frac{dv}{\sqrt{W-v} \sqrt{v-u(x)}} = \frac{2}{c} x_c(\sqrt{W})$$

故有:

$$x_c(\sqrt{W}) = \frac{c}{2\pi} \int_0^W \frac{v^{-\frac{1}{2}} \tau(\sqrt{v})}{\sqrt{W-v}} dv = \frac{c}{\pi} \int_0^{f_{pe}} \frac{\tau(f)}{\sqrt{f_{pe}^2 - f^2}} df$$

$$x_c(f) \\ x_c(f_{pe}) = \frac{c}{2\pi^2} \int_0^{f_{pe}} \frac{d\phi(f)}{df} \frac{df}{\sqrt{f_{pe}^2 - f^2}} = \frac{c}{2\pi^2} \int_0^f \frac{d\phi}{df'} \frac{df'}{\sqrt{f_{pe}^2 - f'^2}}$$

这就是相位延迟表达的阿贝尔变换。由观测知, 可求出与截止频率  $f_{pe}$  相对应的截止点的位置, 令给定入射波频率从  $0 \rightarrow f_{pe}$  扫描, 是测量每个频率下的  $d\phi/df$  值。实际上, 入射波频率不可从  $0$  开始扫描, 而是从某一最低频率  $f_1$  开始扫描。因此,  $f < f_1$  的相位信息丢失了。这可以以假定的密度分布或用其它方法测量的密度分布计算这部分边界密度分布对积分的贡献。但在这部分贡献是可以忽略的, 这是因为对足够低的频率, 入射波在截止点处是垂直反射的,  $d\phi/df$  很小, 这时阿贝尔积分的贡献很小, 可忽略。

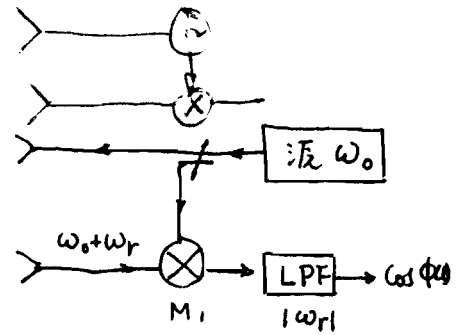
二. 反射计:

### 1. 简单反射计

这是要拍摄测的反射计。接收天线接收的信号为:

$$S(t) = a(t) \cos[\omega_0 t + \phi(t)]$$

即  $a(t)$  (幅度) 和  $\phi(t)$  (相角) 是随时间慢变化的函数 (在  $f_{pe}$  的时间尺度内)。频率  $\omega_r = d\phi/dt$  可以认为是反射波瞬时多普勒频率。在没有密度随时间变化的情况下,  $a(t) \approx$  常数, 则相位延迟携带反射层的信号。在有密度随时间变化的情况下,  $a(t)$  和  $\phi(t)$  携带随时间变化的统计性质信号。在如要得到简单拍摄测的条件下, 做滤波 (LPF) 的截止频率, 要保证  $\omega_c > |\omega_r|$ 。这种测量方法的缺点是失去了相位延迟的信号。因此, 它的动态范围 (中间是动态范围) 受限于 AM 噪声和混频器噪声的限制。



## 2. 外差频率反射计

为避免这些缺点, 可采用外差频率反射计方法。如电路采用另一个微波混频器做本振, 其频率为  $\omega_1 (\approx \omega_0)$ , 中频频率为  $|\omega_0 - \omega_1| \approx 500 \text{ MHz}$ 。通过两个信号的相位比较, 可以得到  $\omega_r$  (即  $\phi(t)$ ) 的信息。在这种方案中

对补偿微波混频器的频率跳变和漂移, 可以进一步采取稳频措施, 如电路示, 可在上臂混频器上加一稳定的中频波。O2 是晶体控制的稳定的振荡器, 其频率为  $\omega_2$ , 它满足

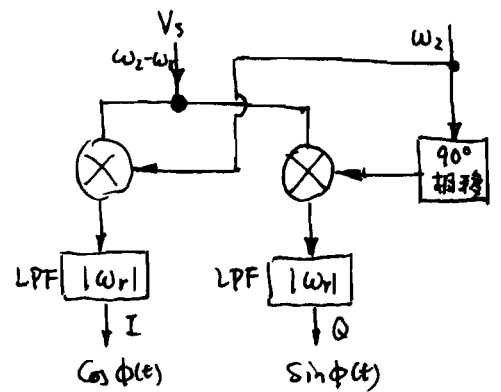
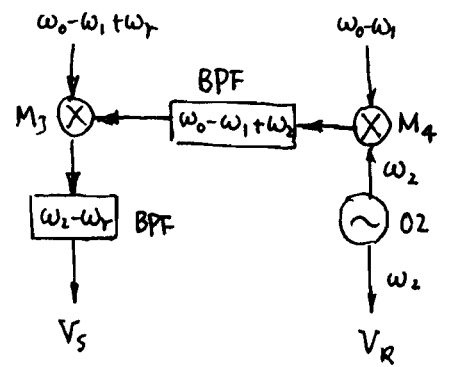
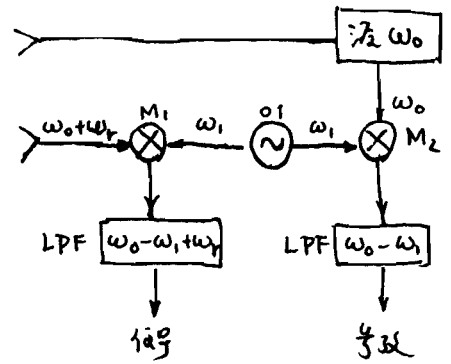
$$|\omega_r| \ll \omega_2 < |\omega_0 - \omega_1|$$

从  $M_4$  输出的窄带信号  $\omega_0 - \omega_1 + \omega_2$

通过带通滤波器后, 在  $M_3$  与上臂

的信号混频后, 获得频率为  $\omega_2 - \omega_r$  的信号。

此外, 上述电路进一步对  $\omega_r$  相位控制方案设计



一般情况下:

$$\frac{d\phi}{d\omega} = 2 \int_0^{x_c(\omega)} \frac{dx}{u}$$

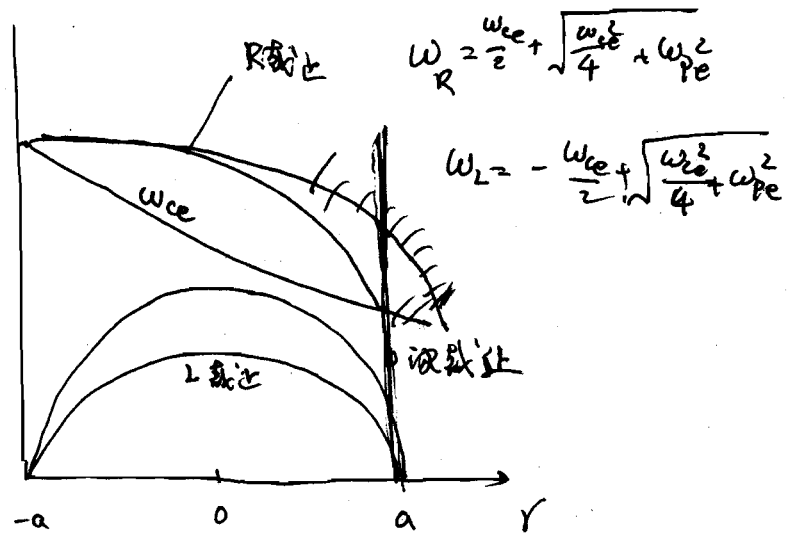
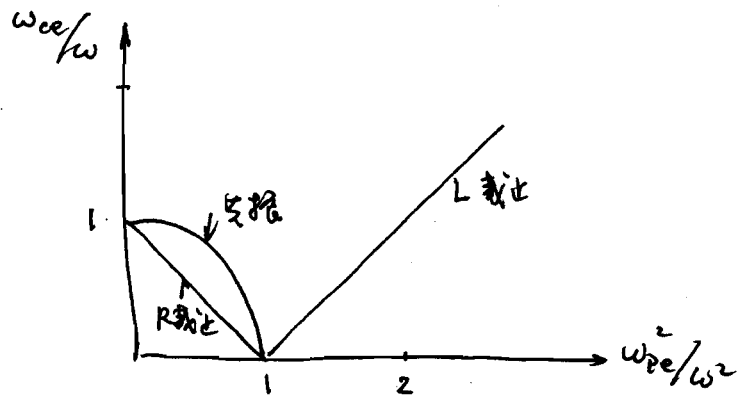
$u$  为群速度

对于 O 波

$$u_o \equiv c\mu_o$$

对于 X 波

$$u_x \equiv c\mu_x \frac{(1-x-y^2)^2}{(1-x-y^2)^2 + xy^2}$$



### 3. 反射计的应用.

$$n_c = 1.1 \times 10^{15} \lambda [m] \quad [m^{-1}]$$

(1) 测量密度分布  $n(x)$

宽带扫频反射计

多道宽带扫频反射计

(2) 测量密度涨落

固定频率反射计

反射计对密度的响应如下: 考虑正弦波信号

$$S_{IF}(t) = \left[ (E_0 + \tilde{E}) e^{i\phi} \right] (E_0 e^{i\phi_0})^* \quad (E e^{i\phi}) (E_0 e^{i\phi_0})^*$$

$$\text{即} \quad E = E_0 + \tilde{E}, \quad \phi = \phi_0 + \tilde{\phi}$$

当  $\tilde{\phi} < 1$  时, 可近似得:

$$S_{IF}(t) = \left[ E_0 \left( 1 + \frac{\tilde{E}}{E_0} + i\tilde{\phi} \right) \right] E_0$$

由此可见,  $S_{IF}$  涨落  $\tilde{S}_{IF}$  含有  $\tilde{E}$  和  $\tilde{\phi}$  的信息, 对单拍探测的反射计,  $\tilde{E}$  和  $\tilde{\phi}$  对  $\tilde{S}_{IF}$  的贡献是不可区分的。只有斜差探测和正交探测才能把  $\tilde{\phi}$  和  $\tilde{E}$  分离开。

此外, 根据反射计相位延迟式:

$$\phi = 2 \frac{\omega}{c} \int_0^{x_c} \mu dx = 2 \frac{\omega}{c} \int_0^{x_c} \sqrt{\epsilon} dx$$

$$\text{若} \quad \epsilon = \epsilon_0 + \tilde{\epsilon}, \quad \sqrt{\epsilon} = \sqrt{\epsilon_0} \left( 1 + \frac{1}{2} \frac{\tilde{\epsilon}}{\epsilon_0} \right)$$

$$\phi = \phi_0 + \tilde{\phi}$$

$$\text{则有} \quad \tilde{\phi} = \frac{\omega}{c} \int_0^{x_c} \frac{\tilde{\epsilon}}{\sqrt{\epsilon_0}} dx$$

若取截止点附近密度梯度正常数, 则  $\epsilon_0 = 1 - \frac{x}{x_c}$

由上式反号, 可得:

$$\tilde{\phi} = 2 \frac{\omega}{c} x_c \tilde{\epsilon} = 2 \frac{\omega}{c} x_c \frac{\tilde{n}_e}{n_c} \quad (\text{对斜差探测或正交探测})$$

这与  $\tilde{n}_e$  成正比。因为反射层有一定厚度  $\Delta x = (\frac{c^2}{\omega^2} x_c)^{1/2} = (k_0 x_c)^{1/2} / k_0$ 。因此它只对长波涨落灵敏, 即  $|k| < k_g = \frac{\pi}{\Delta x}$ 。

理论研究表明: 反射计的相位响应对频率靠近截止频率, 而此近 WKB 近似不适用。

上述是粗略的估计。

也不适用，因此此式只是近似的估计。

$$= (47) (15)$$

### (3) 反射计的基本限制

中心区：在等离子体中<sup>15</sup>， $\frac{dn_e}{dr}$  趋于零。对于O波传播， $\epsilon_r$  非线性地变化。同时  $L_n$  很大，使波的衰减长度很长，从而使波在到达有完全衰减之前又达到传播区，使反射波包的分辩率比较困难。对于X波反射，因为  $\epsilon_r$  与  $\omega_{ce}$  有关，该限制可避免。

极化波：在边像区密度梯度通常比较大，而对O波反射计，极化波的波长也比较长，使得几何光学近似不适用。而且，如果梯度足够陡，O波密度梯度的反射也可得到。

电子回旋吸收区：当波频率接近于  $\omega_{ce}$  时（或近谐波频率时），辐射吸收是可发生的。如果波在达到反射区之前经过吸收区，则反射计是无效的。

### (4) 波长的选择

O波 — 反射计测量最准确从 97% 以上

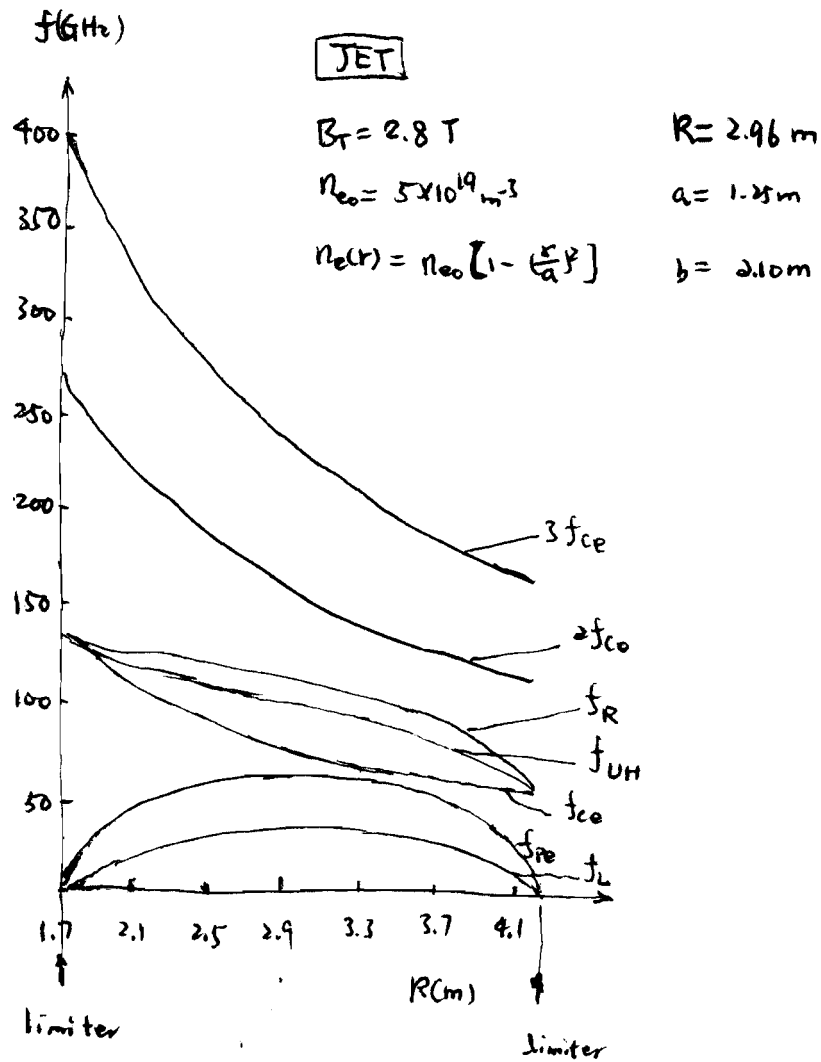
X波 — 它的测量是依赖于等离子体的分布

## 4. 与干涉仪的比较

- (1) 反射计是局部的，因相位测量是相对于  $\mu \rightarrow 0$  处。干涉仪测量是  $\mu$  的微小变化，因此测量不是局部的。
- (2) 反射计是测量临界密度层相对于固定点的位置，因此它的测量是依赖于整个等离子体（即从密度分布到它的幅度和变化）。干涉仪测量的是密度分布的变化，对等离子体整体运动不灵敏。
- (3) 反射计为获得局部的密度分布，不需要对射线做处理，而干涉仪需要对射线做处理。

参考文献：FRCF 30 (1996), 901-910

RS: 69 (1998), 2201-2211



X선: 3리  $\frac{1}{2}$   $f_{ce}$   $n_e(r)$  분포

O선: 2리  $\frac{1}{2}$   $f_{ce}$   $n_e(r)$  분포

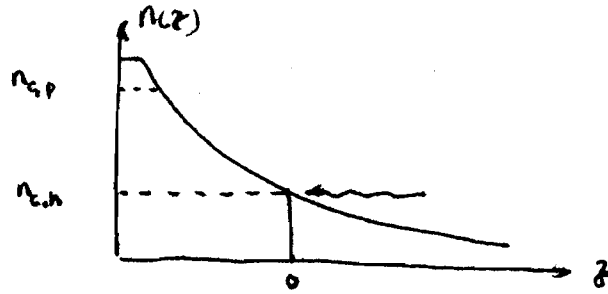
$6 \times 10^{12} \sim 1.5 \times 10^{14} \text{ cm}^{-3}$ , 22 GHz ~ 110 GHz

$$f_R = \frac{f_{ce}}{2} + \sqrt{\frac{f_{ce}^2}{4} + f_{pe}^2}$$

$$f_L = -\frac{f_{ce}}{2} + \sqrt{\frac{f_{ce}^2}{4} + f_{pe}^2}$$

▲ 用于激光等离子体密度测量的干涉仪

等离子体特点：密度低，梯度大



$$n_e(z) = n_{e,h} \exp\left(-\frac{8r^2}{L^2}\right) \exp\left(-\frac{z}{l}\right)$$

$L$ : 为横向密度衰减的特征长度  $e^{-2}$  的半径,  $L \sim 100 \mu\text{m}$  量级

$l$ : 为纵向密度衰减的特征长度,  $l \sim 10 \mu\text{m}$

1. 折射偏转角

$$\psi = \tan^{-1} \left[ 0.313 \frac{L}{l} \left( \frac{\lambda_p}{\lambda_h} \right)^2 \right]$$

当  $\lambda_p = \frac{1}{2} \lambda_h$  时,  $\psi \approx 40^\circ$ ;  $\lambda_p = \frac{1}{4} \lambda_h$  时,  $\psi \approx 10^\circ$

折射效应是必须考虑的, 现在用波长  $\lambda_p$  做探针束

2. 临界密度附近干涉问题 - 分辨率

$$(\Delta z)_{\text{干涉问题}} \approx \frac{2.5 l N_h^2}{L \lambda_p}$$

若  $\lambda_h = 1.06 \mu\text{m}$ ,  $\lambda_p = 0.265 \mu\text{m}$ ,  $l \approx 10 \mu\text{m}$ ,  $L \approx 100 \mu\text{m}$

$$(\Delta z)_{\text{干涉问题}} \approx 2 \mu\text{m}$$

3. 探针束脉宽

$$\Delta \tau \leq \frac{(\Delta z)_{\text{干涉问题}}}{4 v_c}$$

$v_c$  临界电子速度

$$\text{若 } v_c = \frac{2.5 \times 10^4}{10} \text{ m/s 时}$$

$$\Delta \tau \sim 20 \text{ ps}$$